

Exploring the supermassive black hole at the galactic center and testing general relativity with GRAVITY

Laboratoire Louis Leprince-Ringuet

Guy Perrin



Monday 19 November 2018

La Galaxie telle que nous la voyons

DIRBE 1.25, 2.2, 3.5 μm Composite



Sgr A* et le centre galactique

Sgr A*

$R_s = 10 \mu\text{as} = 0,1 \text{ ua}$

Dist. 8 k pc

Mini spirale,
région III

(2 pc/~ 50'')

Amas central à deux disques

90 étoiles massives OB et
Wolf-Rayet

(0,5 pc/12,5'')

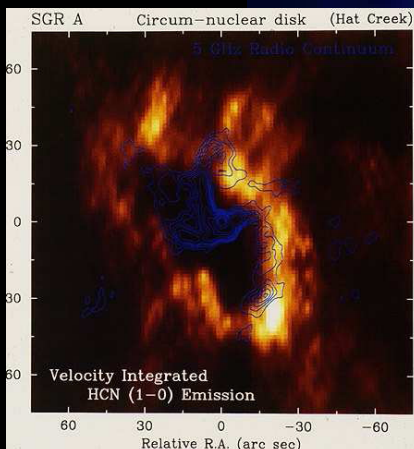
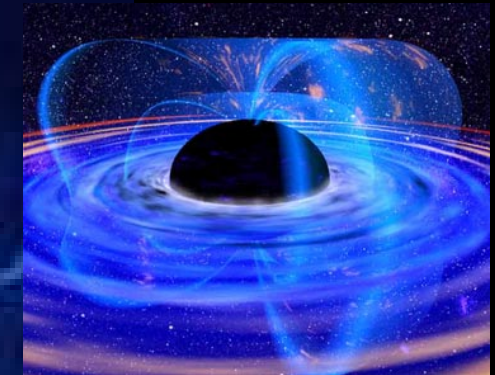
Amas des étoiles S

50 étoiles massives séquence
principale

(0,5-20 mpc/12-400 mas)

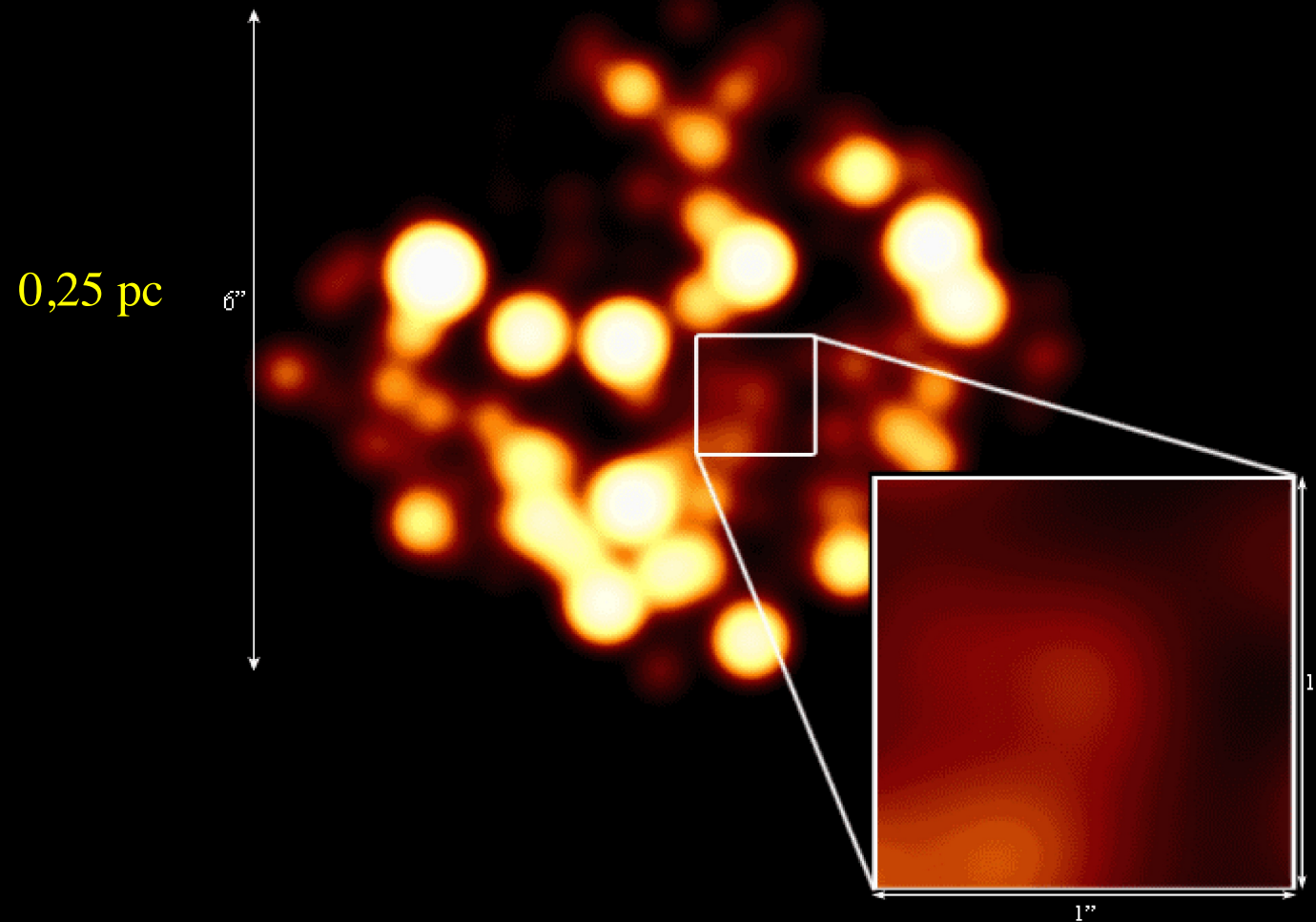
Disque circumnucléaire
gaz moléculaire et poussière

(1,5-7 pc/~100'')



(Balick & Brown 1974, Becklin et al. 1982, Roberts, Yusef-Zadeh & Goss 1992, Eckart et al. 1995, Paumard et al. 2004, 2006)

Observations dans l'infrarouge proche



Le VLT, Very Large Telescope
4 télescopes européens de 8 m au Mont Paranal au Chili



Le miracle de l'optique adaptative NACO (VLT)

Off

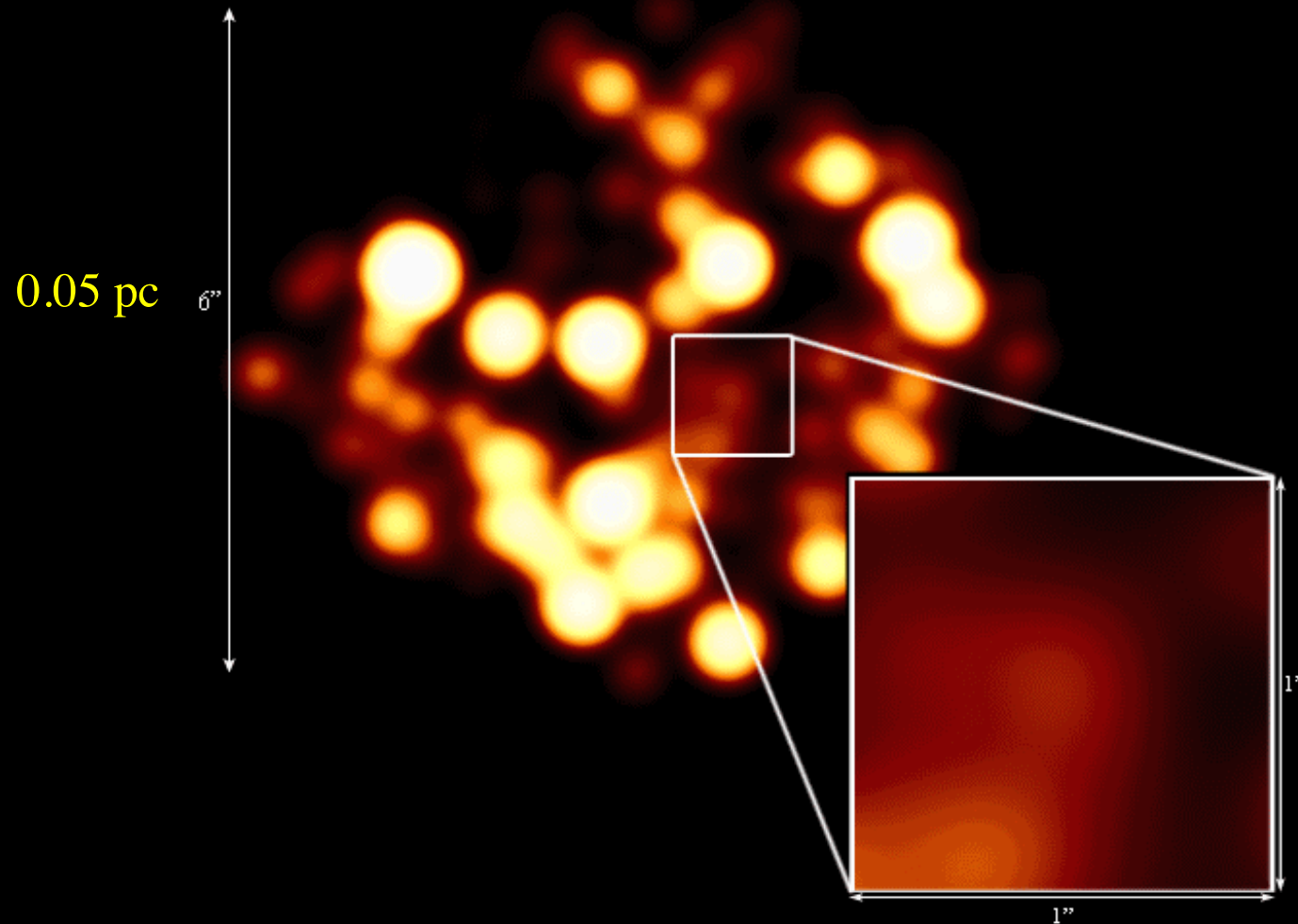


● résolution angulaire du
télescope



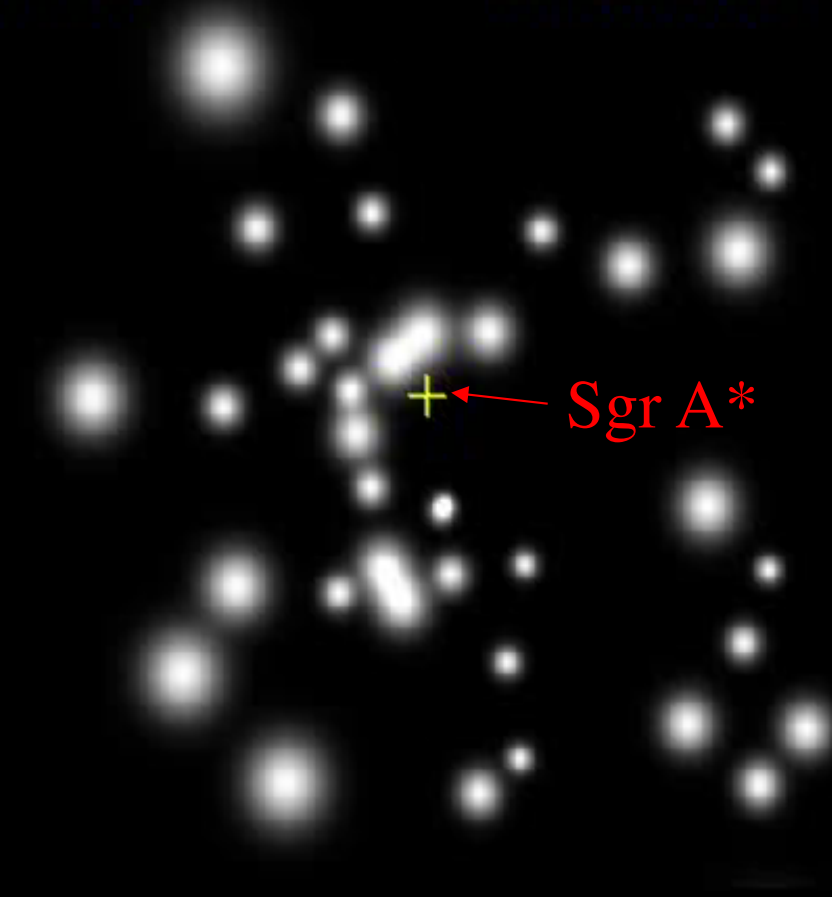
Image d'une étoile double serrée

Avec une optique adaptative infrarouge pour le Centre Galactique



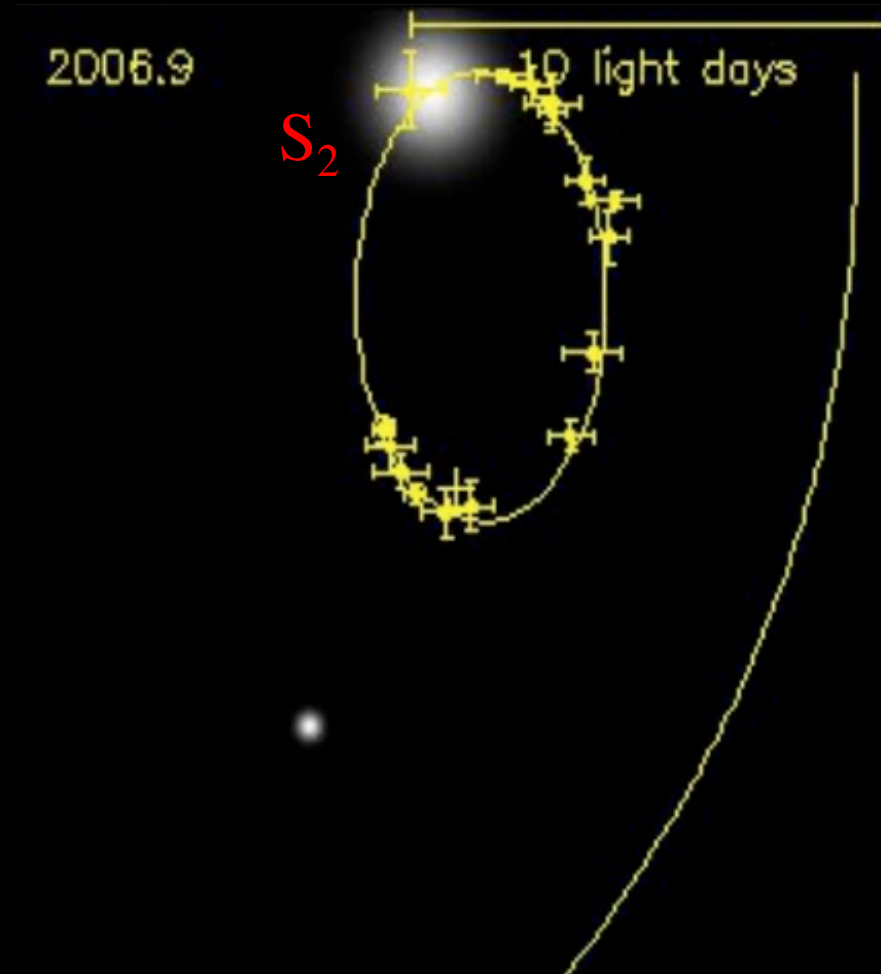
Orbite de l'étoile S_2 observée par l'optique adaptative du VLT NAOS

1992 10 light days



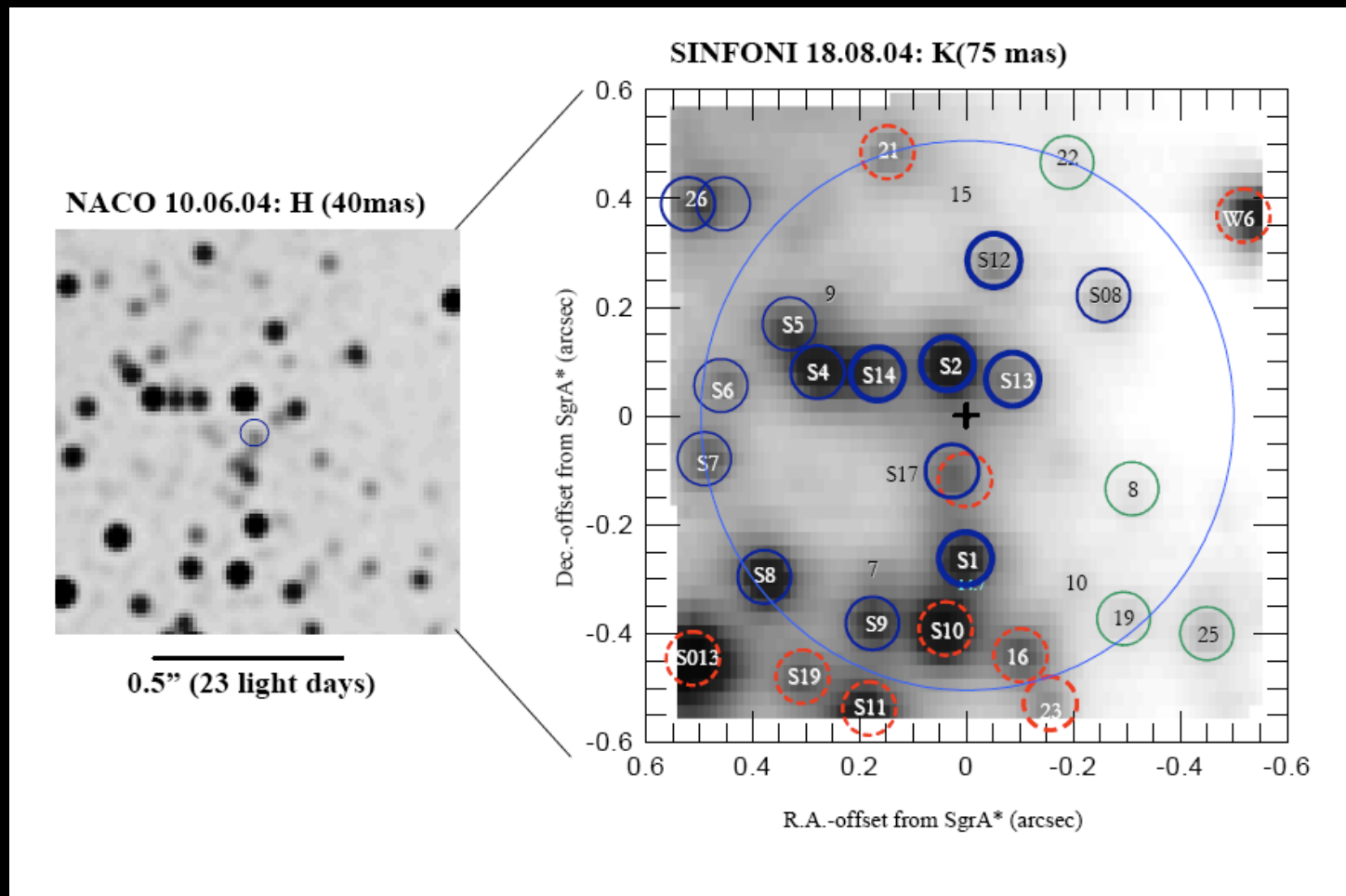
Schödel et al. (2002)

Orbite de l'étoile S_2 observée par l'optique adaptative du VLT NACO



Schödel et al. (2002)

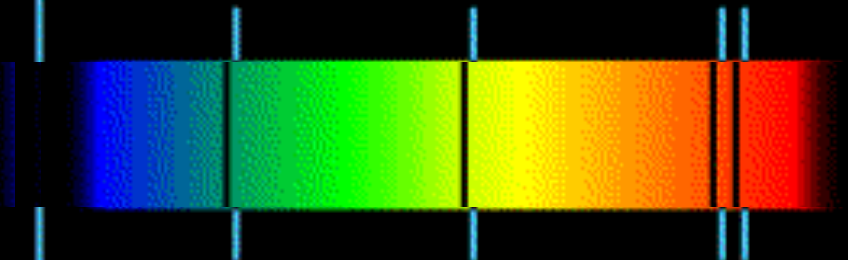
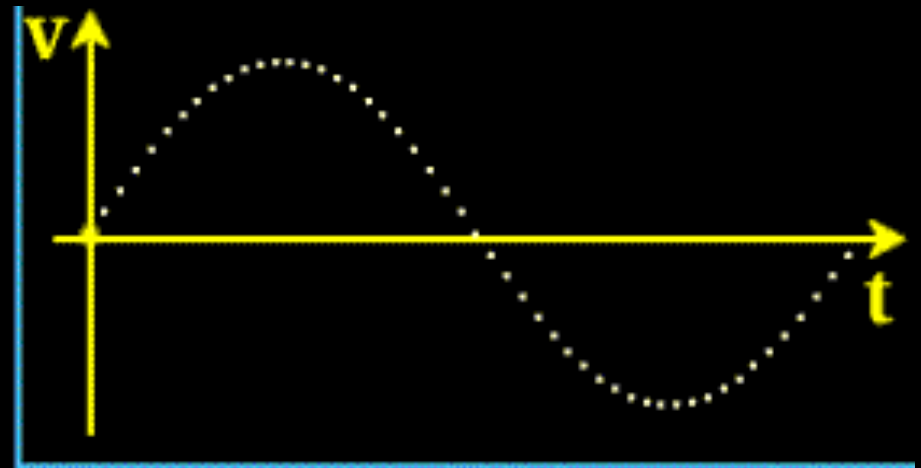
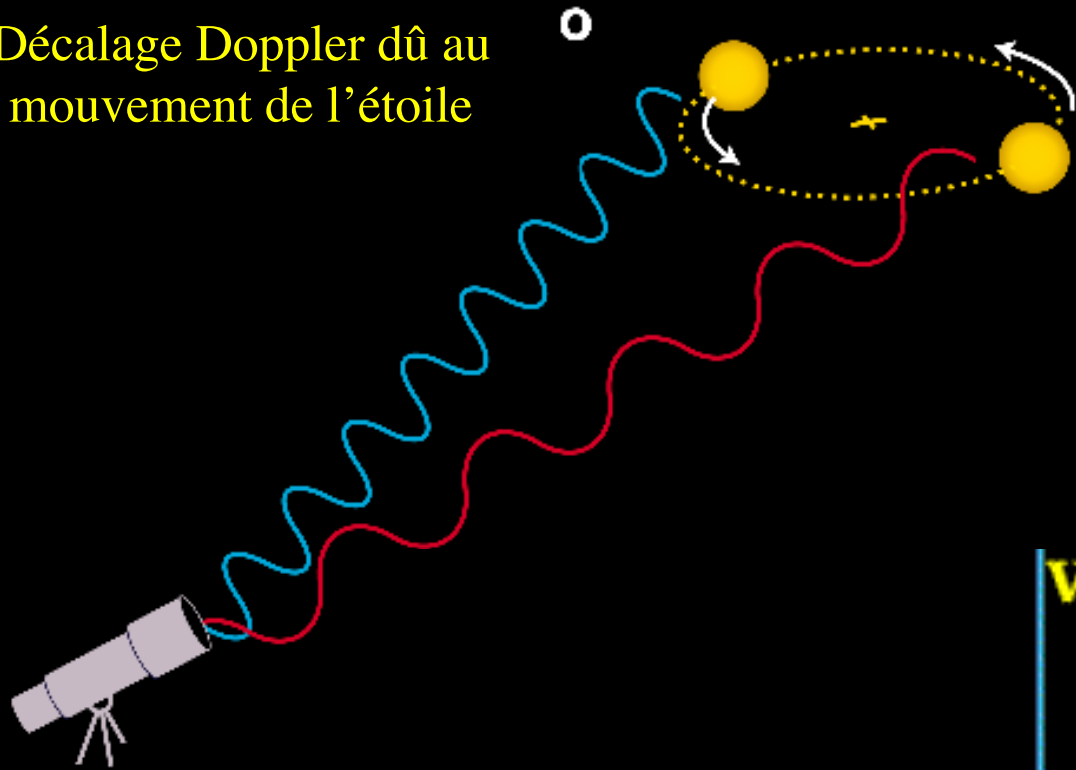
Orbites des étoiles S par optique adaptative et spectroscopie au VLT



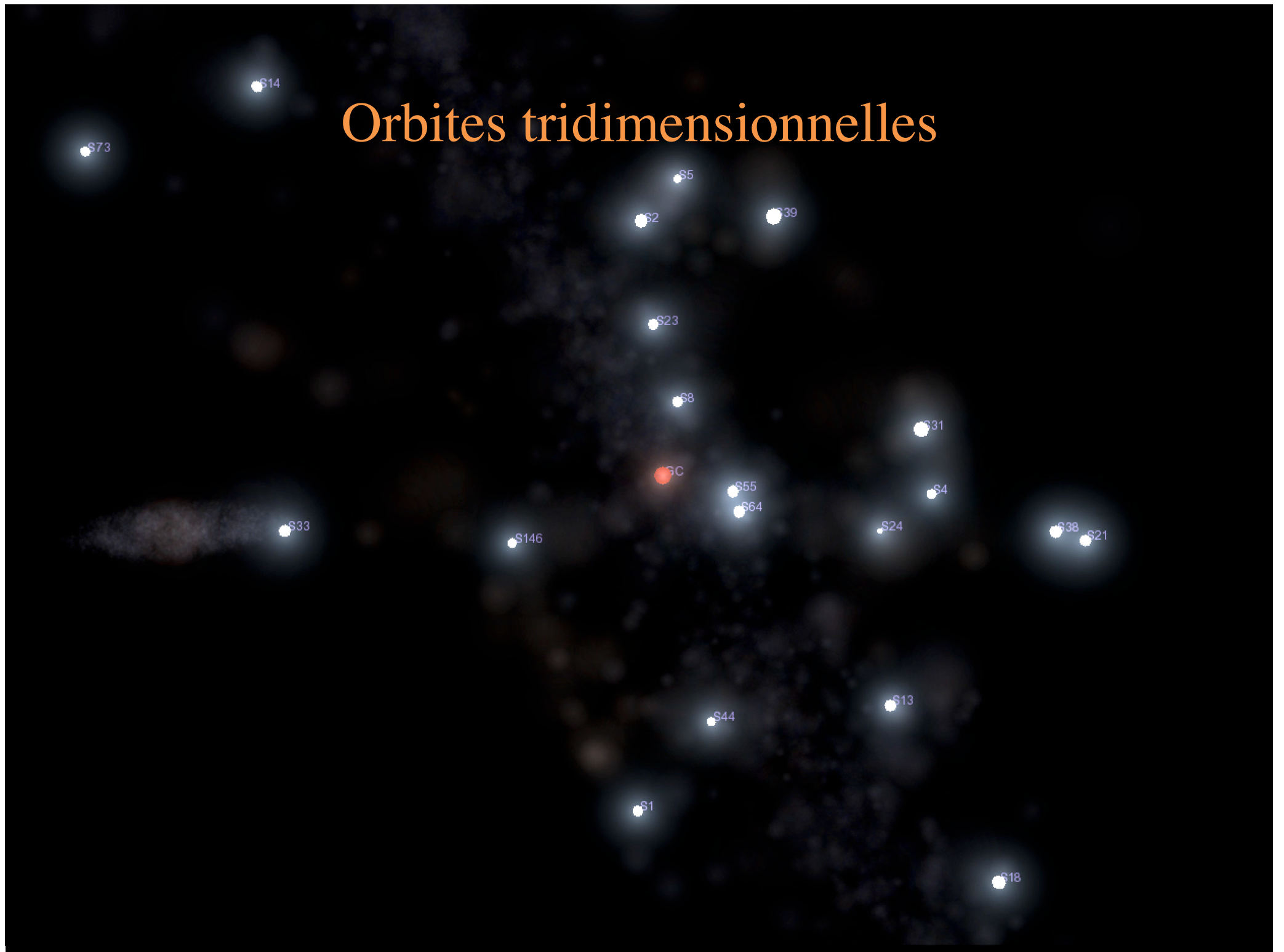
Eisenhauer et al. (2005)

Décalage Doppler dû au mouvement de l'étoile

→ *Vitesse*
de l'étoile sur la
ligne de visée en
km/s



Orbites tridimensionnelles



Calcul précis de la masse de Sgr A*

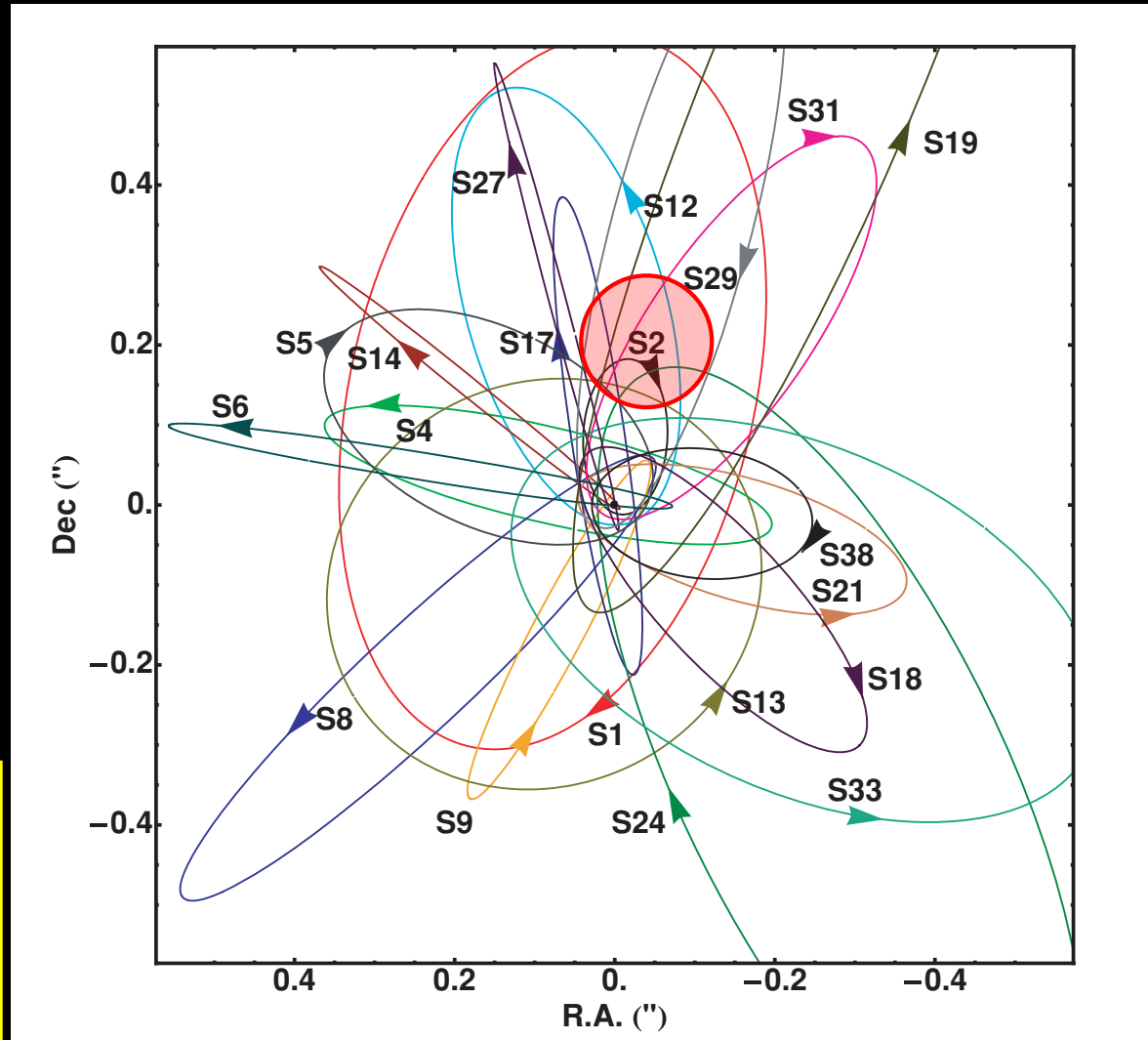
Application de la
3^{ème} loi de Kepler :

$$\frac{a^3}{T^2} = \frac{GM_{Sgr A^*}}{4\pi^2}$$



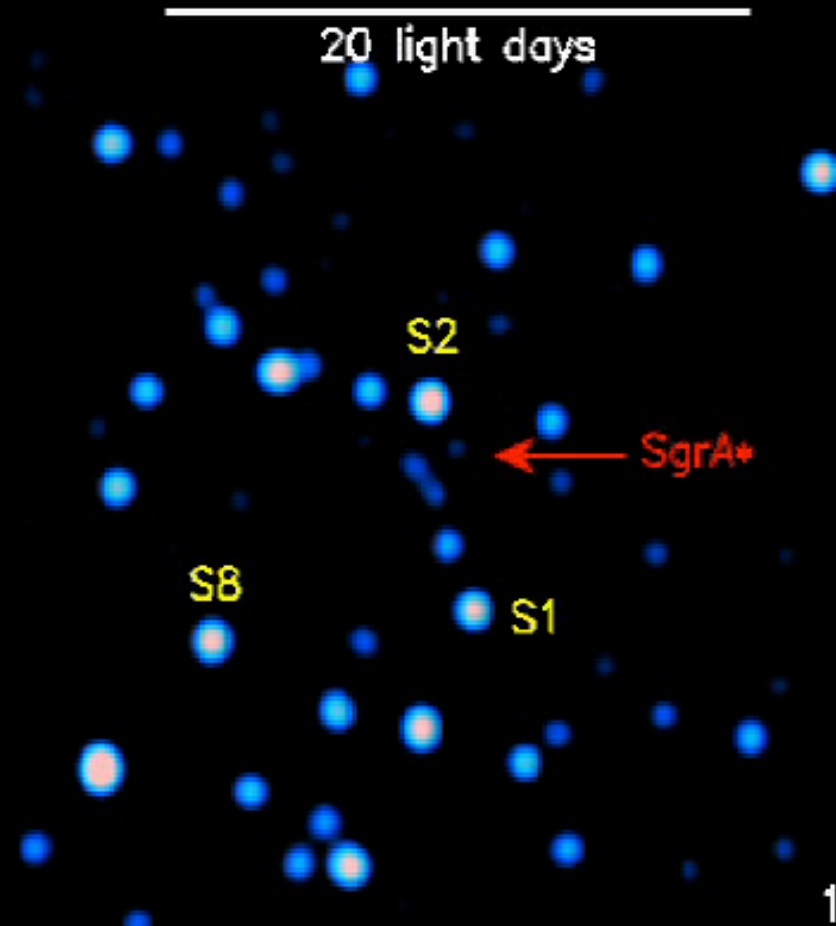
$$M_{Sgr A^*} = 4,31 \pm 0,42 \times 10^6 M_{Soleil}$$

$$(d = 7,62 \pm 0,32 \text{ kpc})$$

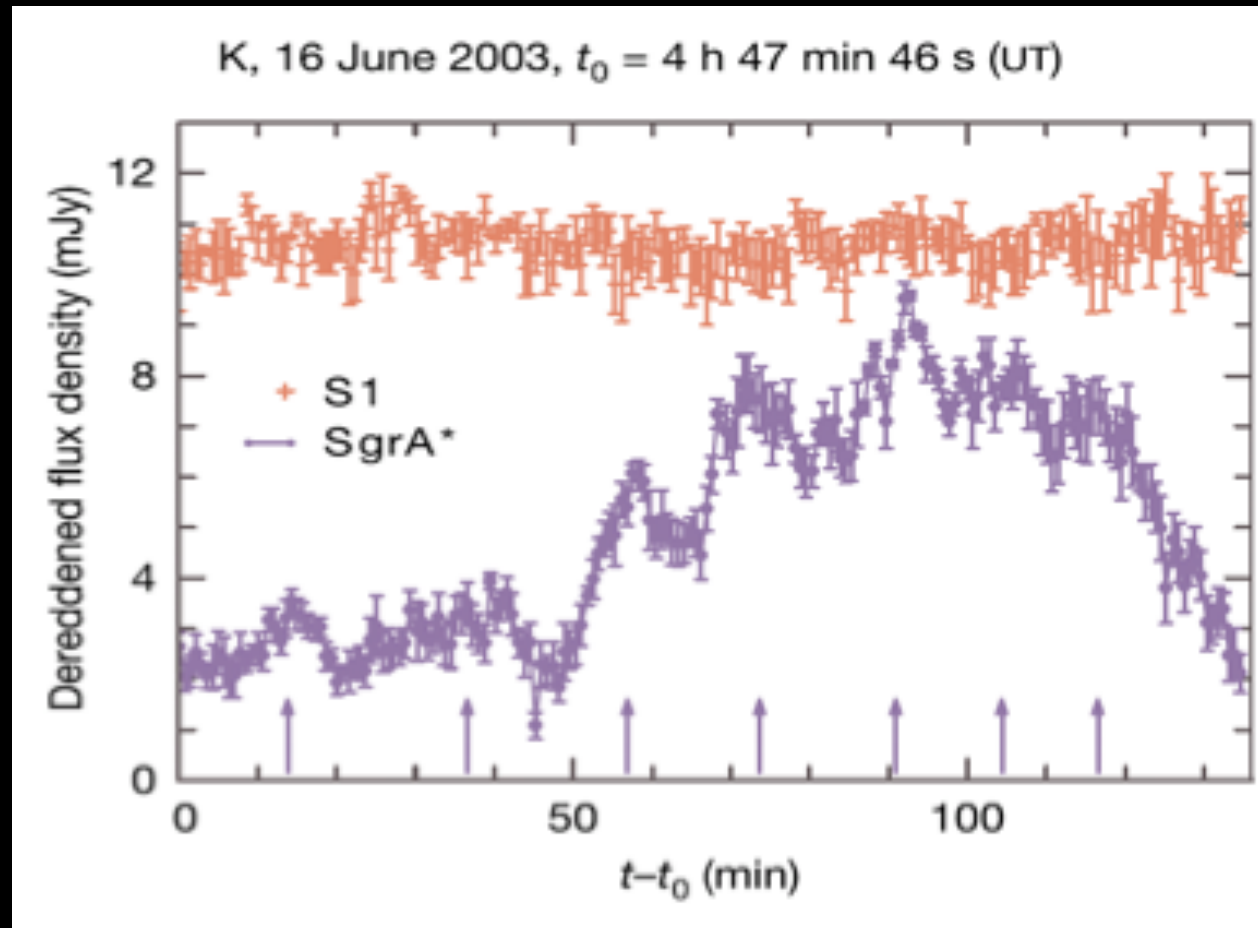


Gillessen et al. (2009)

Les sursauts au Centre Galactique



Luminosité du sursaut de 2003 en fonction du temps



Aller plus loin en augmentant la résolution angulaire

Étudier les effets relativistes sur les orbites d'étoiles proches

Comprendre la nature des étoiles S et leur distribution

Échelle $\sim 100 R_s$ 1 mas (x50)

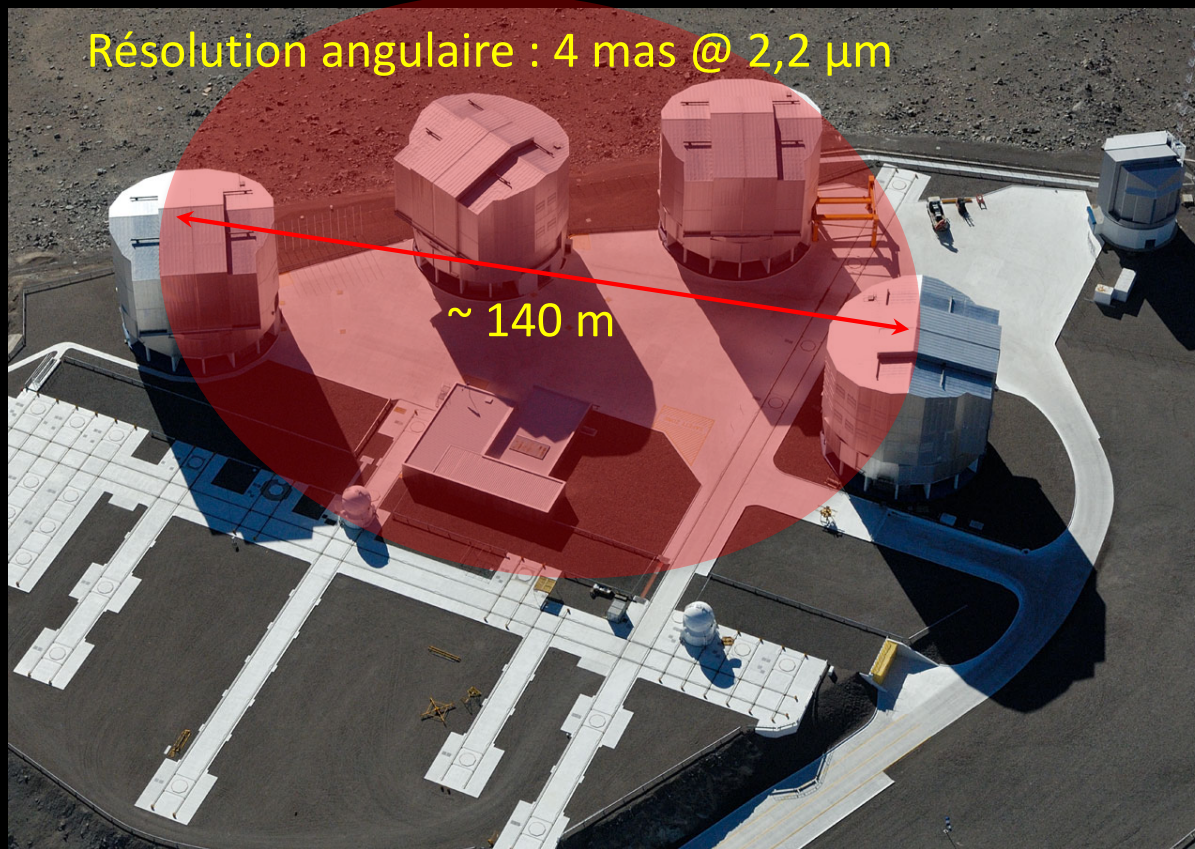
Aller vers une preuve définitive que Sgr A* est un trou noir

Comprendre la nature des sursauts

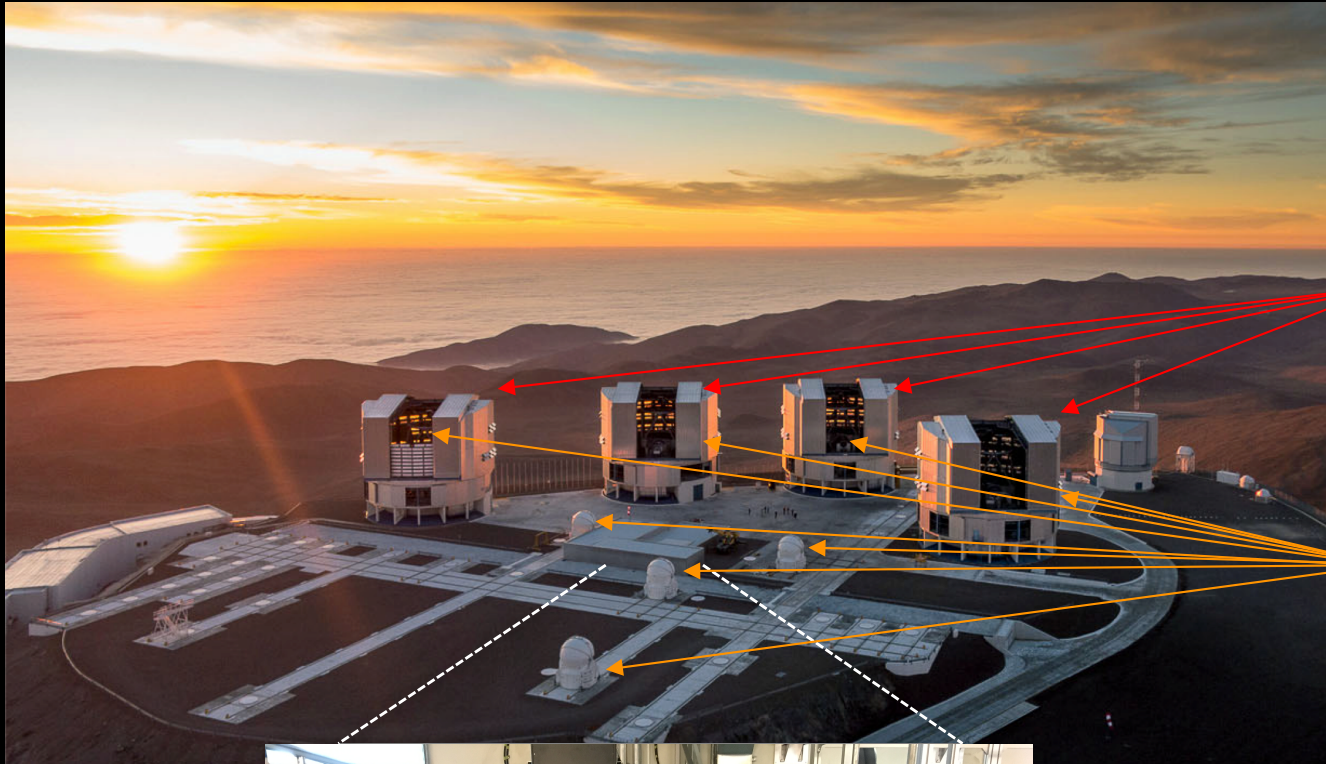
Utiliser le trou noir comme un laboratoire unique pour la relativité générale en champ fort

Échelle $\sim 1 R_s$ 10 μ as (x5000)

GRAVITY combine les 4 UT (8 m)
ainsi que les 4 AT (1,80 m) du VLT

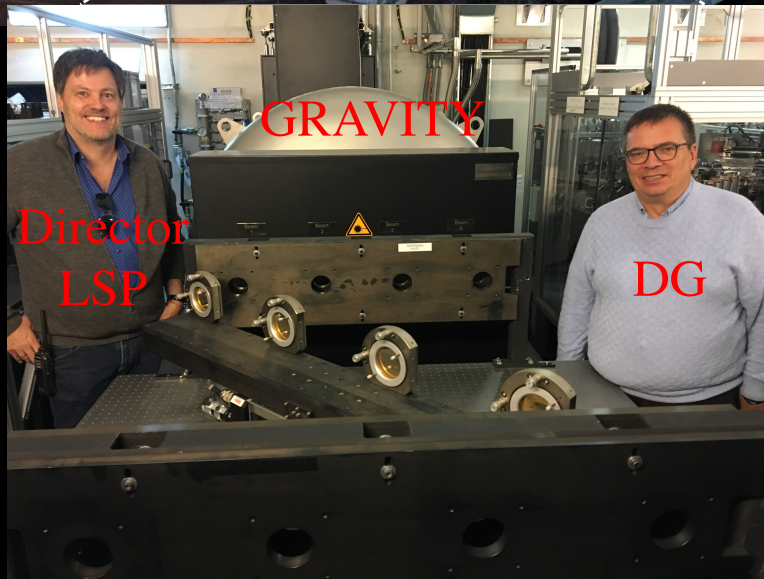


GRAVITY : instrument distribué sur le VLTI



Au recombinateur viennent s'ajouter :

- les 4 optiques adaptatives infrarouges (UT)
- les capteurs métrologiques sur les télescopes (UT et AT) pour l'astrométrie très haute précision



Le consortium GRAVITY

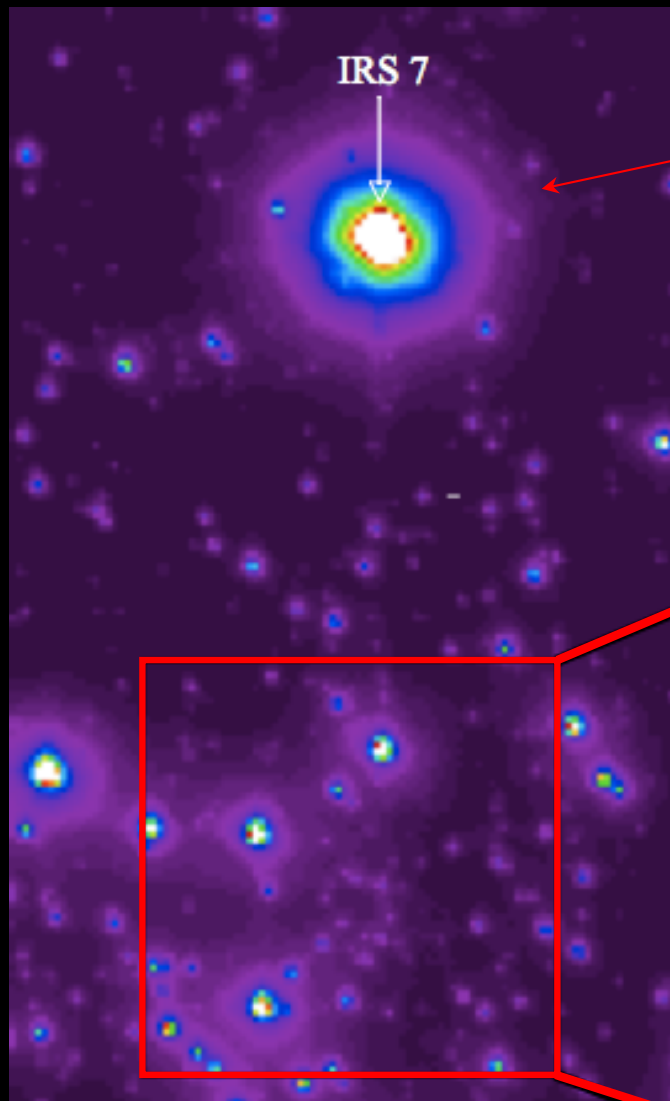
Frank Eisenhauer, **Guy Perrin**, Wolfgang Brandner, Christian Straubmeier, **Karine Perraut**, Antonio Amorim, Markus Schöller, Reinhard Genzel, **Pierre Kervella**, **Myriam Benisty**, Sebastian Fischer, **Laurent Jocou**, Paulo Garcia, Gerd Jakob, Stefan Gillessen, **Yann Clénet**, Armin Boehm, Constanza Araujo-Hauck, Jean-Philippe Berger, Jorge Lima, Roberto Abuter, Oliver Pfuhl, **Thibaut Paumard**, Casey P. Deen, Michael Wiest, **Thibaut Moulin**, Jaime Villate, Gerardo Avila, Marcus Haug, **Sylvestre Lacour**, Thomas Henning, Senol Yazici, Axelle Nolot, Pedro Carvas, Reinhold Dorn, Stefan Kellner, **Eric Gendron**, Stefan Hippler, Andreas Eckart, Sonia Anton, Yves Jung, Alexander Gräter, **Élodie Choquet**, Armin Huber, Narsireddy Anugu, Philippe Gitton, Eckhard Sturm, **Frédéric Vincent**, Sarah Kendrew, Stefan Ströbele, Clemens Kister, **Pierre Fédou**, Ralf Klein, Paul Jolley, Magdalena Lippa, **Vincent Lapeyrère**, Natalia Kudryavtseva, Christian Lucuix, Ekkehard Wieprecht, **Frédéric Chapron**, Werner Laun, Leander Mehrgan, Thomas Ott, **Gérard Rousset**, Rainer Lenzen, Marcos Suarez, Reiner Hofmann, **Jean-Michel Reess**, Vianak Naranjo, Pierre Haguenuer, Oliver Hans, **Arnaud Sevin**, Udo Neumann, Jean-Louis Lizon, Markus Thiel, **Claude Collin**, Jose Ricardo Ramos, Gert Finger, David Moch, **Daniel Rouan**, Ralf-Rainer Rohloff, Markus Wittkowski, Richard Davies, **Denis Ziegler**, Karl Wagner, Henri Bonnet, Katie Dodds-Eden, **Frédéric Cassaing**, Pengqian Yang, Florian Kerber, Sebastian Rabien, **Nabih Azouaoui**, Frederic Gonte, Josef Eder, **Vartan Arslanian**, Willem-Jan de Wit, Frank Hausmann, **Roderick Dombet**, Luca Pasquini, Harald Weisz, **Pierre Lena**, Mark Casali, **Bernard Lazareff**, **Zoltan Hubert**, **Jean-Baptiste Le Bouquin**



Le consortium GRAVITY



Principe de la mesure GRAVITY



Source de référence pour
l'optique adaptative infrarouge

Sources de référence pour la
stabilisation des franges, l'imagerie
et l'astrométrie interférométriques

IRS16 NW
2"

K ~ 9.6

IRS16 C

Sgr A*

K ~ 15 - 18

This zoomed-in view shows the central region of the field. A large red circle is drawn around the stars. The stars are labeled: IRS16 NW (top right), IRS16 C (middle left), and Sgr A* (bottom center). The magnitude of IRS16 NW is given as K ~ 9.6. The magnitude of Sgr A* is given as K ~ 15 - 18. A red double quote symbol (") is next to the label IRS16 NW, indicating its position relative to Sgr A*.

Astrométrie interférométrique

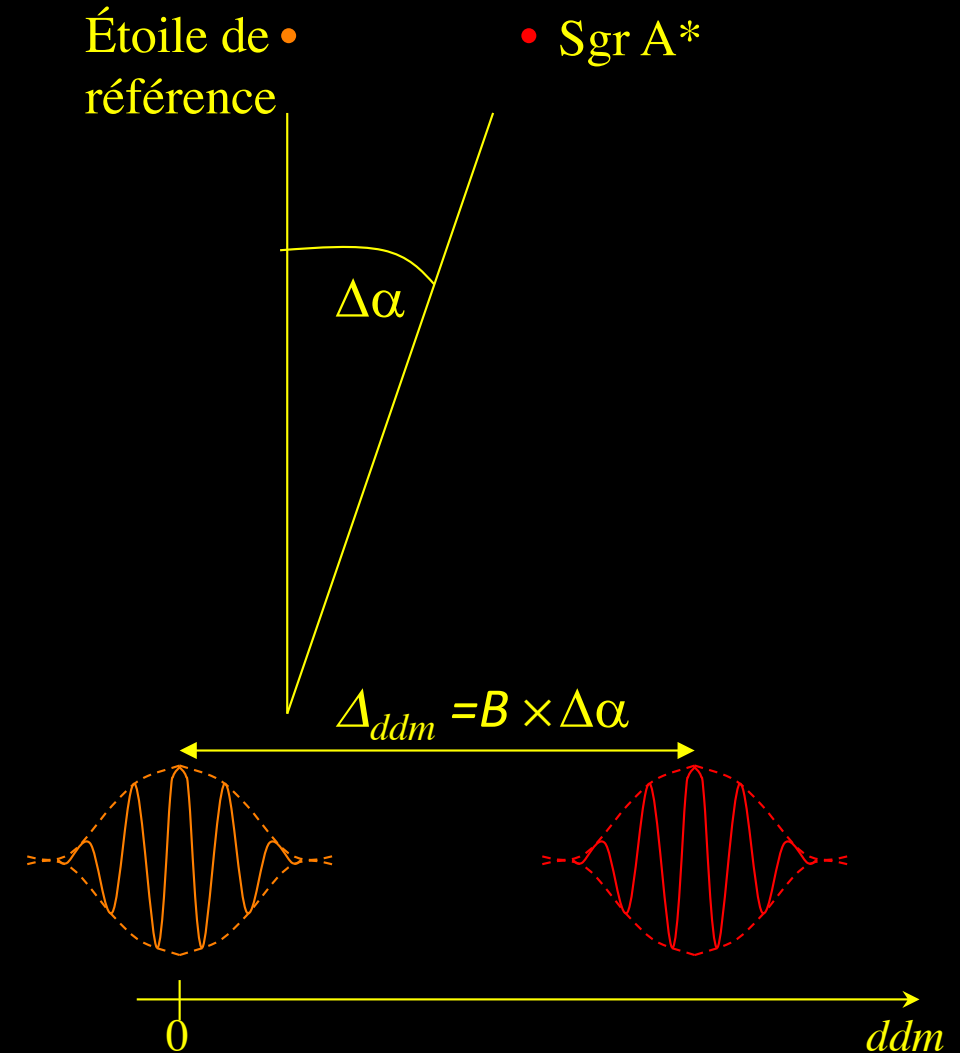
La distance entre les interférogrammes vaut :

$$\Delta_{ddm} = B \times \Delta\alpha$$

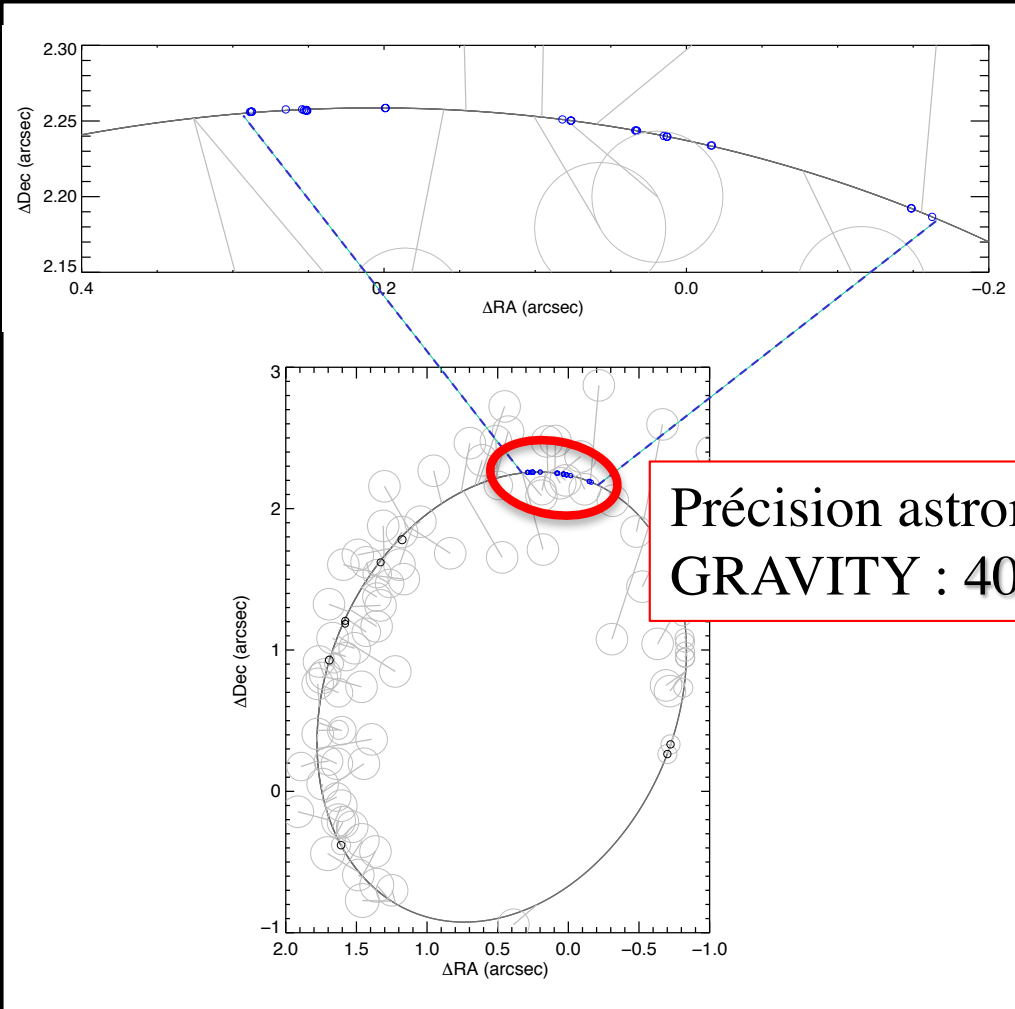
D'où :

$$\Delta\alpha = \Delta_{ddm} / B$$

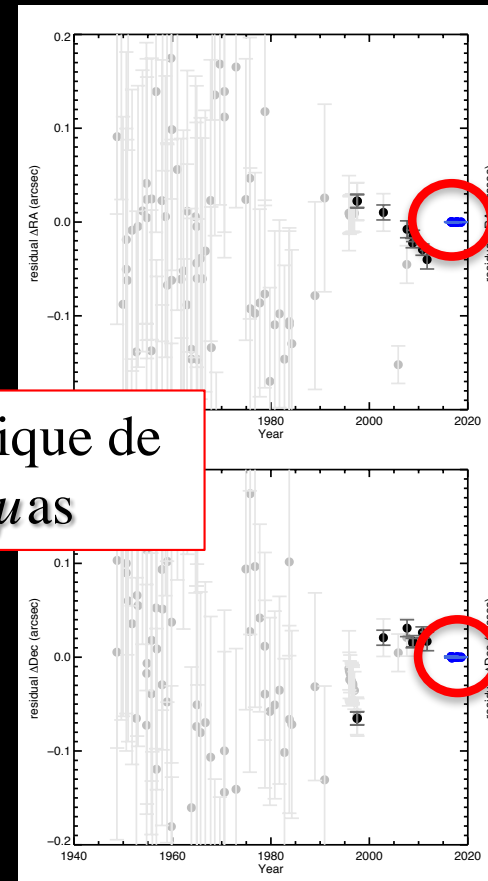
Avec une précision de 5 nm sur Δ_{ddm} pour une base de 100 m, la précision sur $\Delta\alpha$ est de 10 μ as.



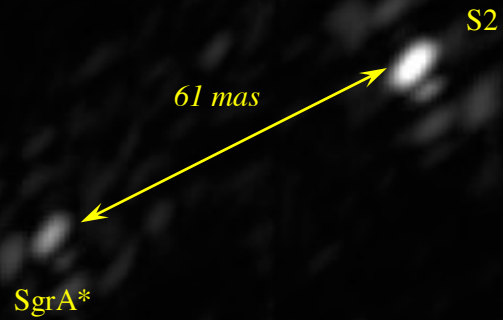
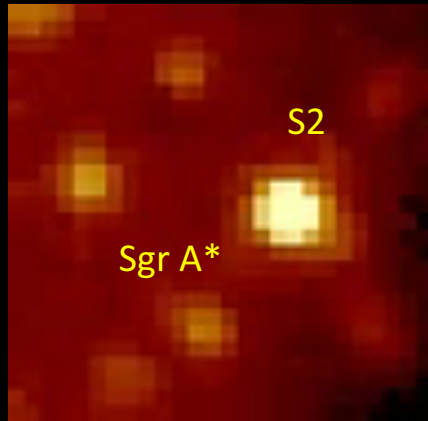
Gliese 65AB



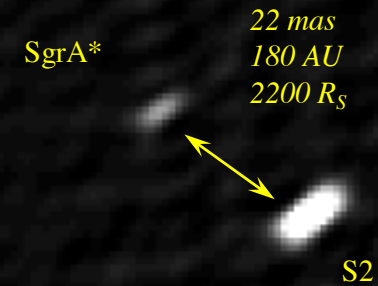
Précision astrométrique de
GRAVITY : 40-60 μas



Images reconstruites de S2 et Sgr A*



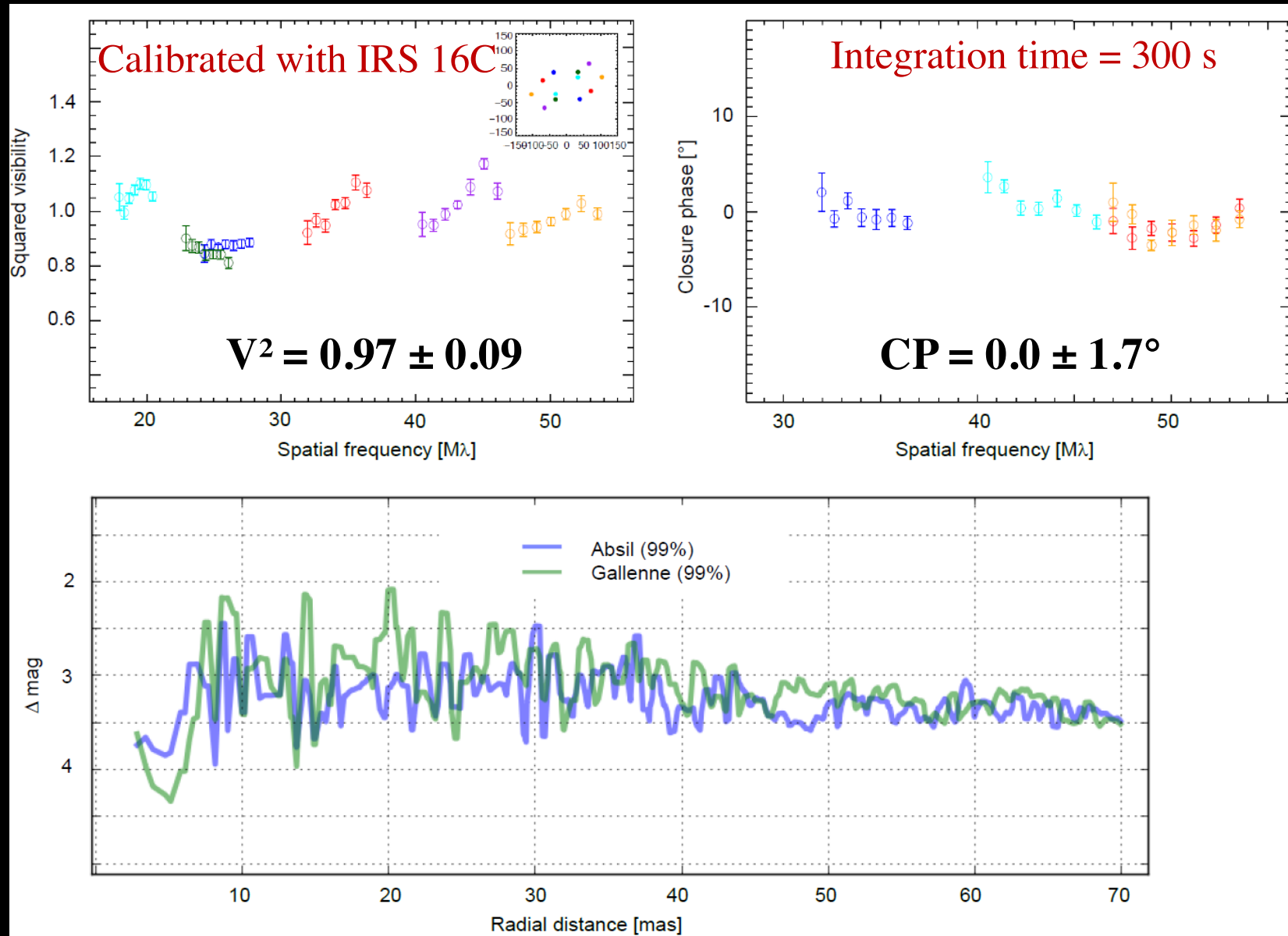
co-add early summer 2017



*resolution
2.2 x 4.7 mas*

March 2018

Pas d'étoile plus brillante que $K = 17,1$ près de S2 et Sgr A*



Détection du rougissement gravitationnel avec S2

A&A 615, L15 (2018)
<https://doi.org/10.1051/0004-6361/201833718>
© ESO 2018

**Astronomy
&
Astrophysics**

LETTER TO THE EDITOR

Detection of the gravitational redshift in the orbit of the star S2 near the Galactic centre massive black hole★

GRAVITY Collaboration^{**}: R. Abuter⁸, A. Amorim^{6,14}, N. Anugu⁷, M. Bauböck¹, M. Benisty⁵, J. P. Berger^{5,8}, N. Blind¹⁰, H. Bonnet⁸, W. Brandner³, A. Buron¹, C. Collin², F. Chapron², Y. Clénet², V. Coudé du Foresto², P. T. de Zeeuw^{12,1}, C. Deen¹, F. Delplancke-Ströbele⁸, R. Dembet^{8,2}, J. Dexter¹, G. Duvert⁵, A. Eckart^{4,11}, F. Eisenhauer^{1,***}, G. Finger⁸, N. M. Förster Schreiber¹, P. Fédou², P. Garcia^{7,14}, R. Garcia Lopez^{15,3}, F. Gao¹, E. Gendron², R. Genzel^{1,13}, S. Gillessen¹, P. Gordo^{6,14}, M. Habibi¹, X. Haubois⁹, M. Haug⁸, F. Haußmann¹, Th. Henning³, S. Hippler³, M. Horrobin⁴, Z. Hubert^{2,3}, N. Hubin⁸, A. Jimenez Rosales¹, L. Jochum⁸, L. Jocou⁵, A. Kaufer⁹, S. Kellner¹¹, S. Kendrew^{16,3}, P. Kervella², Y. Kok¹, M. Kulas³, S. Lacour², V. Lapeyrère², B. Lazareff⁵, J.-B. Le Bouquin⁵, P. Léna², M. Lippa¹, R. Lenzen³, A. Mérand⁸, E. Müller^{8,3}, U. Neumann³, T. Ott¹, L. Palanca⁹, T. Paumard², L. Pasquini⁸, K. Perraut⁵, G. Perrin², O. Pfuhl¹, P. M. Plewa¹, S. Rabien¹, A. Ramírez⁹, J. Ramos³, C. Rau¹, G. Rodríguez-Coira², R.-R. Rohloff³, G. Rousset², J. Sanchez-Bermudez^{9,3}, S. Scheithauer³, M. Schöller⁸, N. Schuler⁹, J. Spyromilio⁸, O. Straub², C. Straubmeier⁴, E. Sturm¹, L. J. Tacconi¹, K. R. W. Tristram⁹, F. Vincent², S. von Fellenberg¹, I. Wank⁴, I. Waisberg¹, F. Widmann¹, E. Wieprecht¹, M. Wiest⁴, E. Wiezorrek¹, J. Woillez⁸, S. Yazici^{1,4}, D. Ziegler², and G. Zins⁹

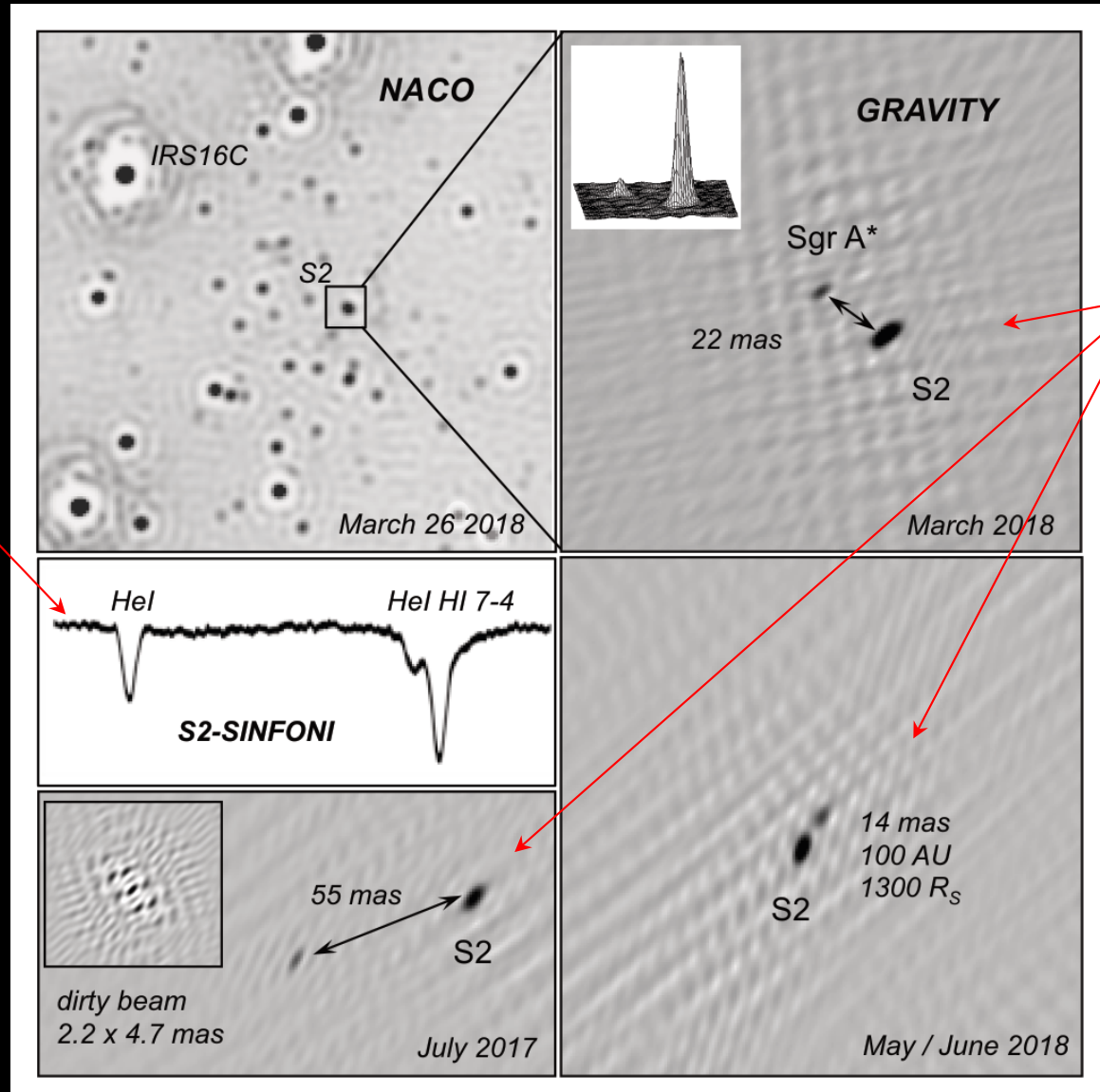
(Affiliations can be found after the references)

Received 26 June 2018 / Accepted 29 June 2018

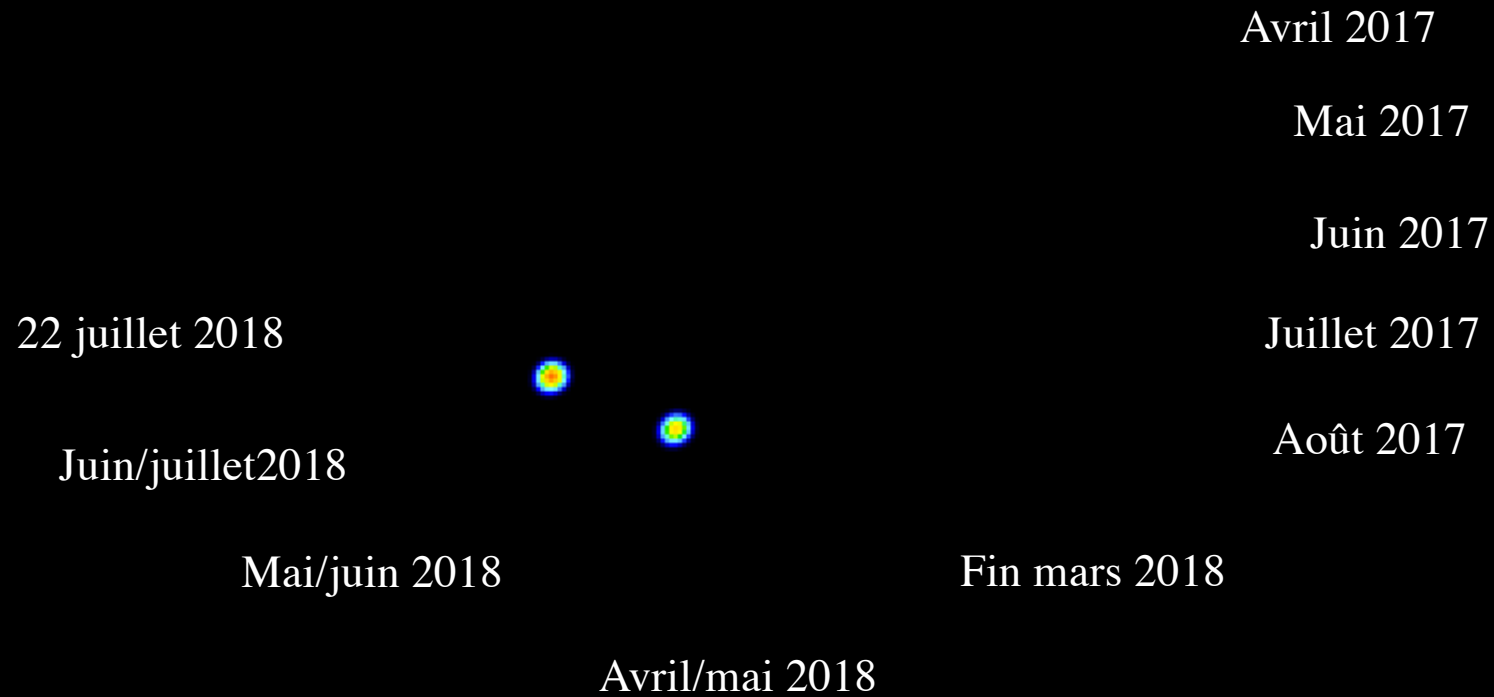
Détection du rougissement gravitationnel avec S2

Mesures spectroscopiques (vitesses)

Imagerie et astrométrie relative à Sgr A*

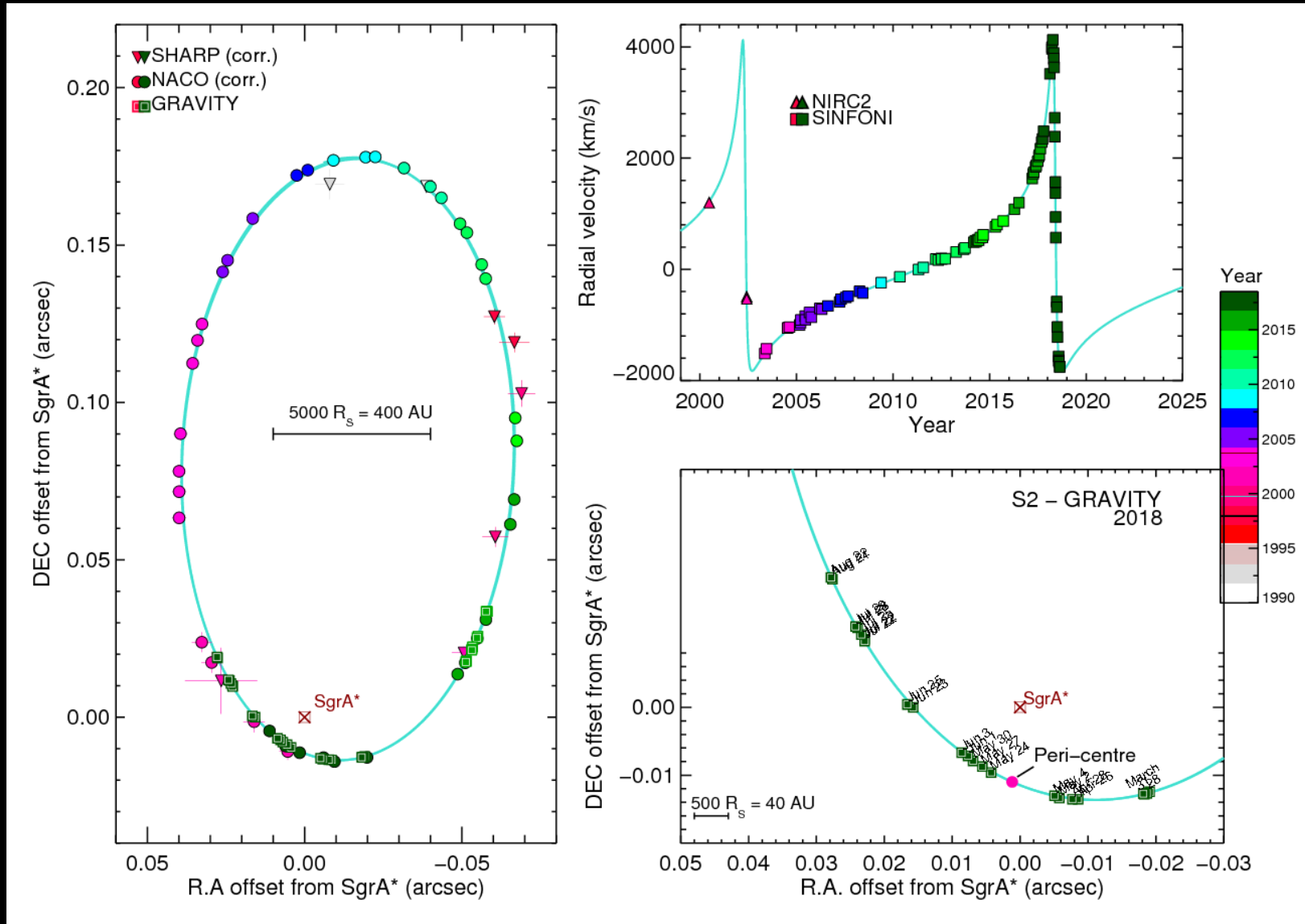


Le suivi régulier de S2 en imagerie interférométrique



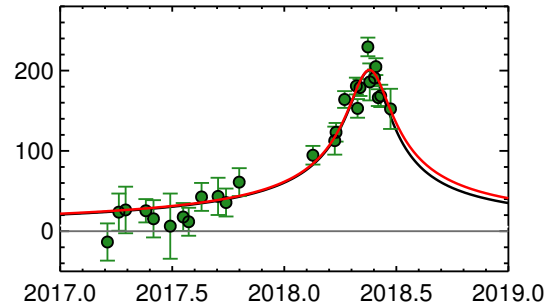
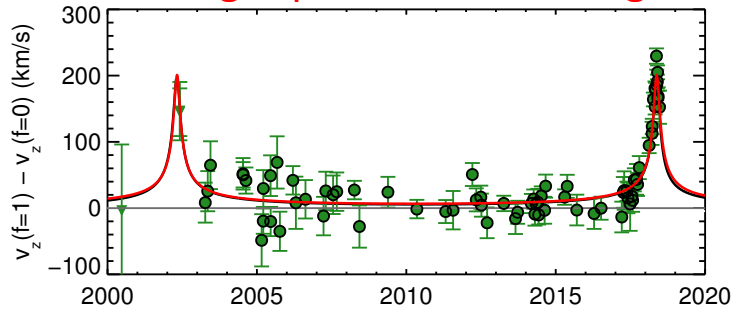
50 mas

Détection du rougissement gravitationnel avec S2

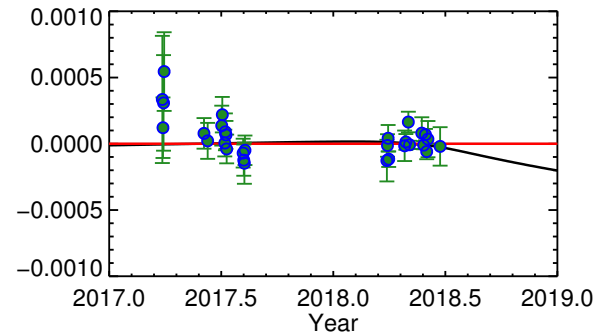
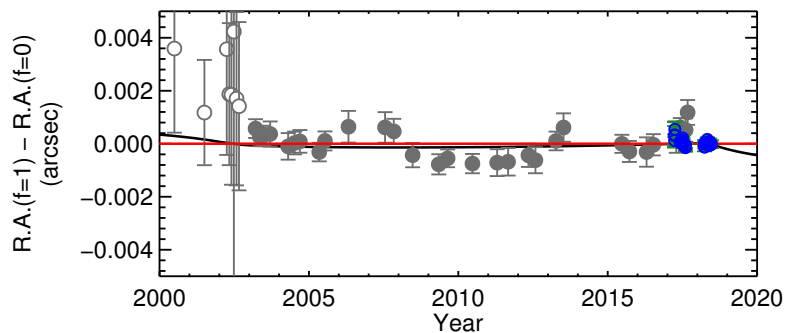
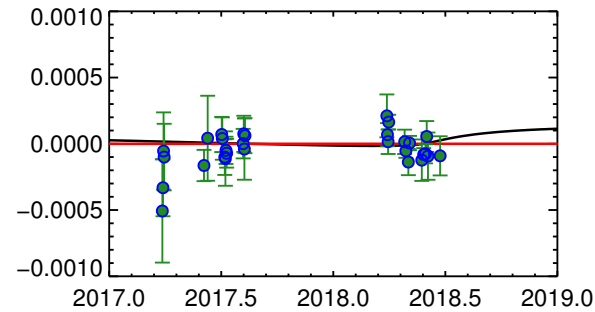
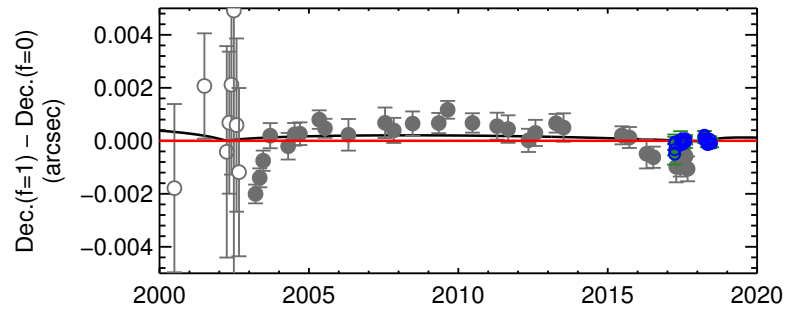


Ajustement par une orbite relativiste

Décalage spectral vers le rouge – vitesses radiales



Astrométrie

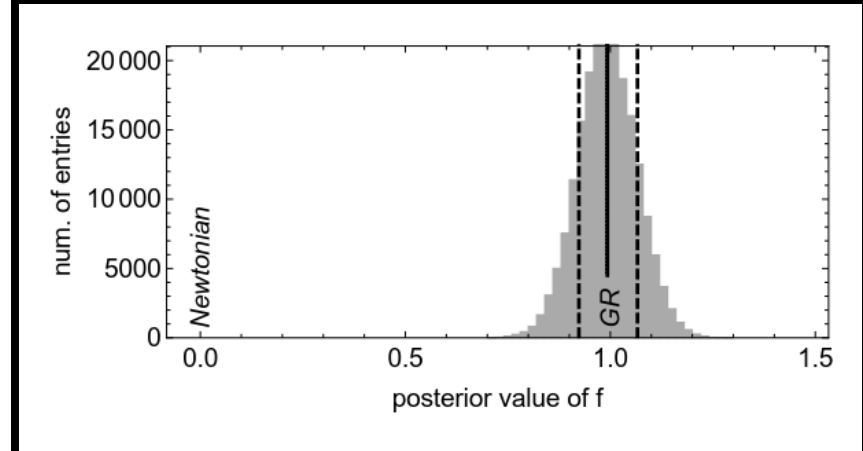
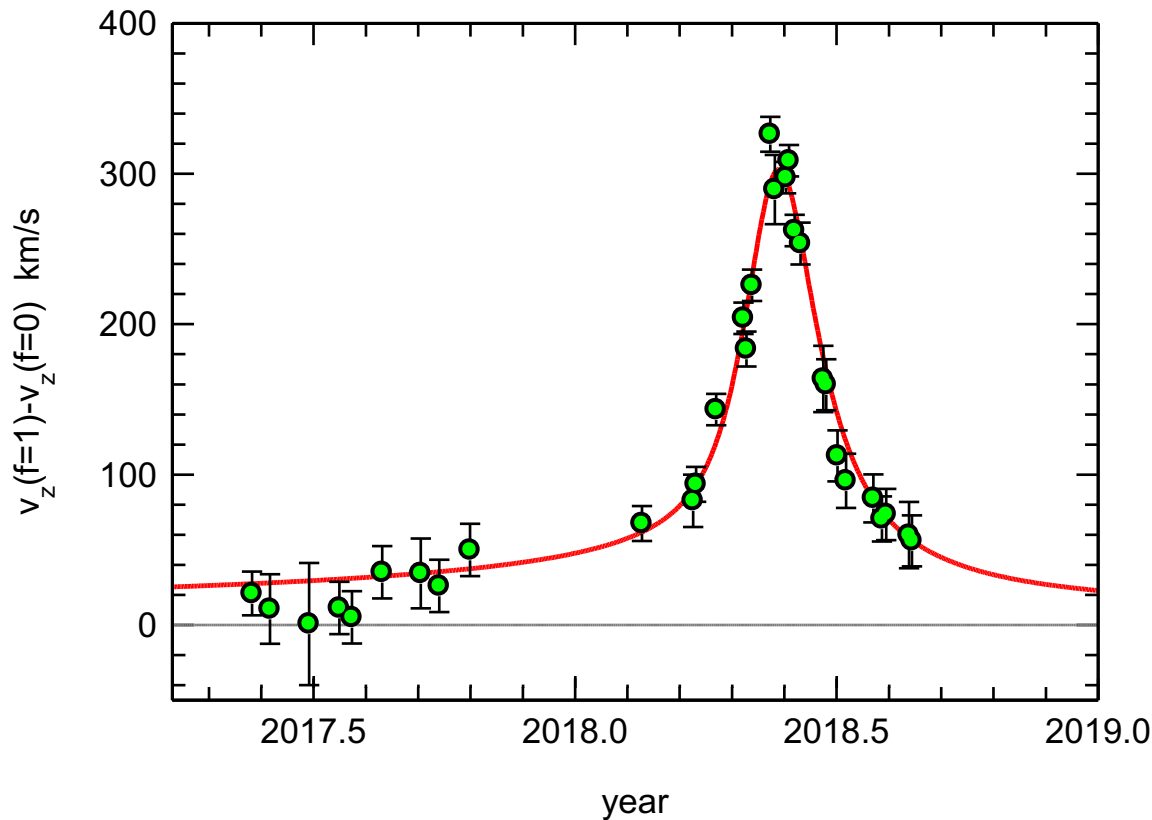


$f = 0$: Newton

$f = 1$: Einstein
(approximation post-newtonienne)

Résultat GRAVITY :
 $f = 0,94 \pm 0,09$

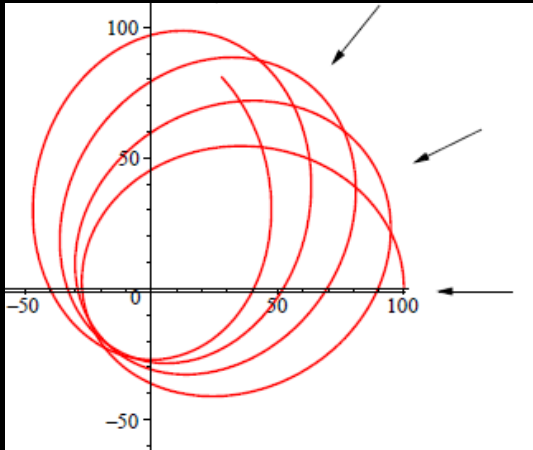
Ajustement avec l'intégralité des données actuelles



Masse Sgr A* : $4,144 \pm 0,023 \times 10^6 M_{\text{sol}}$
(précision de 6×10^{-3})
Distance Sgr A* : 8174 ± 20 pc
(précision de 2×10^{-3})

$f = 1,04 \pm 0,06$
Newton exclu à 16σ

Mesure de la précession relativiste avec S2

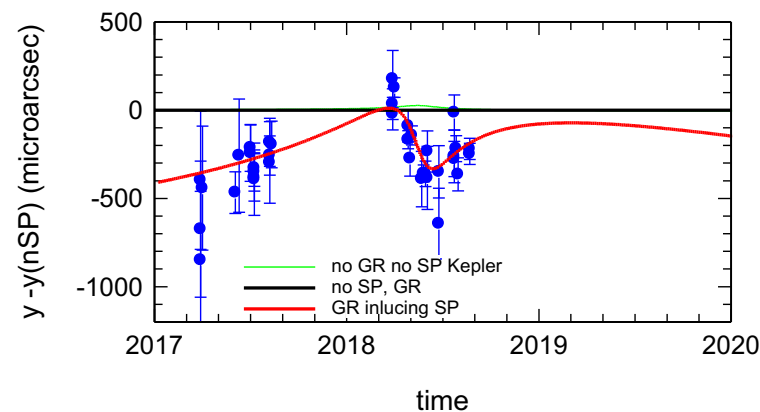
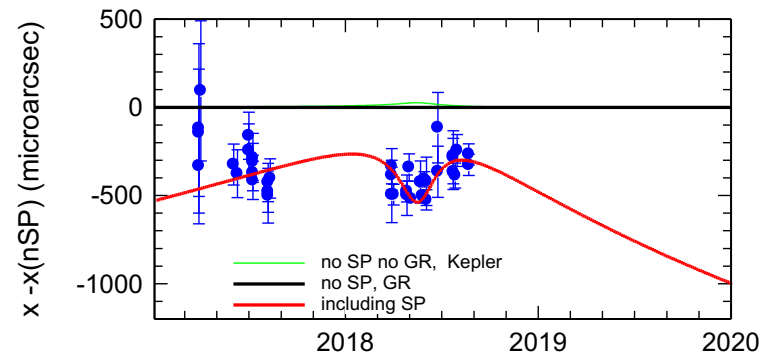


Jaroszynski 98

$$\Delta\Phi_{per\ orbit} = f_{SP} \times 3\pi \left(\frac{R_s}{a(1-e^2)} \right) + f_{LT} \times 2\chi \left(\frac{R_s}{a(1-e^2)} \right)^{3/2}$$

PPN(1)_φ : Schwarzschild Precession

S2:11.9'



Avec les données actuelles :

$$f_{SP} = 1,3 \pm 0,8$$

Détection robuste à partir de 2019

Détection de mouvements orbitaux près de la dernière orbite circulaire stable de Sgr A*

A&A 618, L10 (2018)

<https://doi.org/10.1051/0004-6361/201834294>

© ESO 2018

**Astronomy
&
Astrophysics**

LETTER TO THE EDITOR

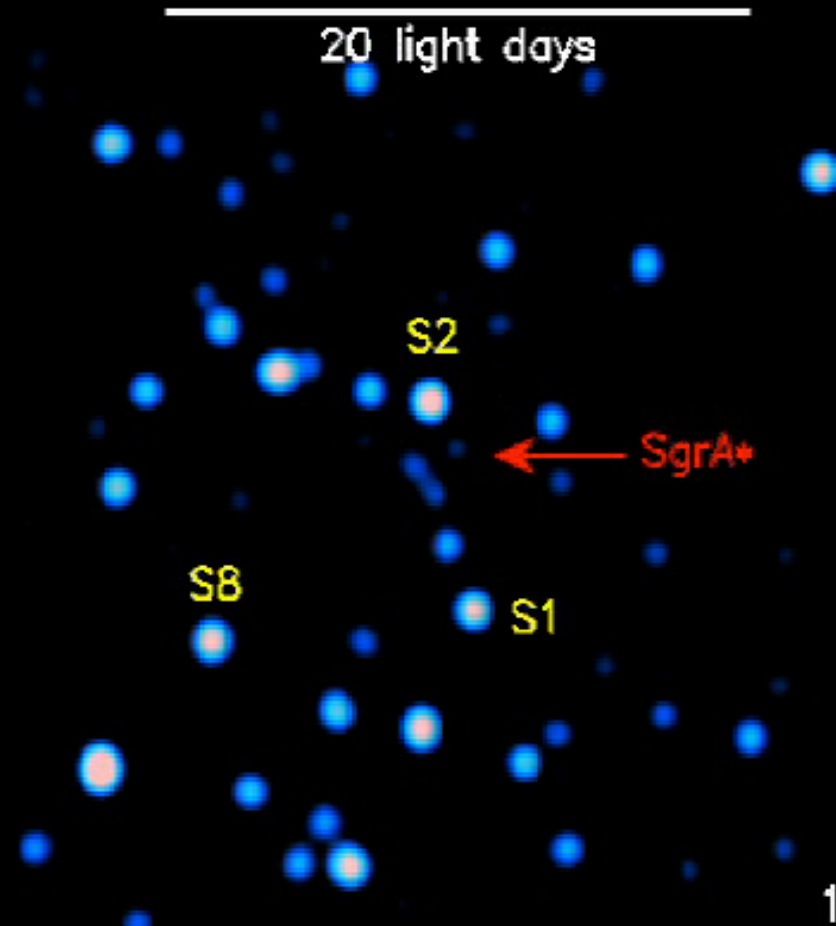
Detection of orbital motions near the last stable circular orbit of the massive black hole SgrA*★

GRAVITY Collaboration★★: R. Abuter⁸, A. Amorim^{6,14}, M. Bauböck¹, J. P. Berger⁵, H. Bonnet⁸, W. Brandner³, Y. Clénet², V. Coudé du Foresto², P. T. de Zeeuw^{10,1}, C. Deen¹, J. Dexter^{1,★★★}, G. Duvert⁵, A. Eckart^{4,13}, F. Eisenhauer¹, N. M. Förster Schreiber¹, P. Garcia^{7,9,14}, F. Gao¹, E. Gendron², R. Genzel^{1,11}, S. Gillessen¹, P. Guajardo⁹, M. Habibi¹, X. Haubois⁹, Th. Henning³, S. Hippler³, M. Horrobin⁴, A. Huber³, A. Jiménez-Rosales¹, L. Jocou⁵, P. Kervella², S. Lacour^{2,1}, V. Lapeyrère², B. Lazareff⁵, J.-B. Le Bouquin⁵, P. Léna², M. Lippa¹, T. Ott¹, J. Panduro³, T. Paumard^{2,★★★}, K. Perraut⁵, G. Perrin², O. Pfuhl^{1,★★★}, P. M. Plewa¹, S. Rabien¹, G. Rodríguez-Coira², G. Rousset², A. Sternberg^{12,15}, O. Straub², C. Straubmeier⁴, E. Sturm¹, L. J. Tacconi¹, F. Vincent², S. von Fellenberg¹, I. Waisberg¹, F. Widmann¹, E. Wieprecht¹, E. Wiezorrek¹, J. Woillez⁸, and S. Yazici^{1,4}

(Affiliations can be found after the references)

Received 21 September 2018 / Accepted 5 October 2018

Les sursauts au Centre Galactique

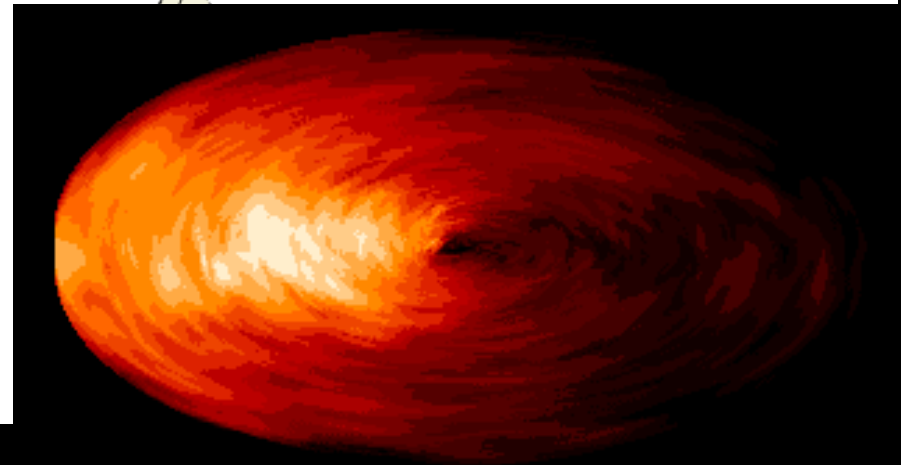
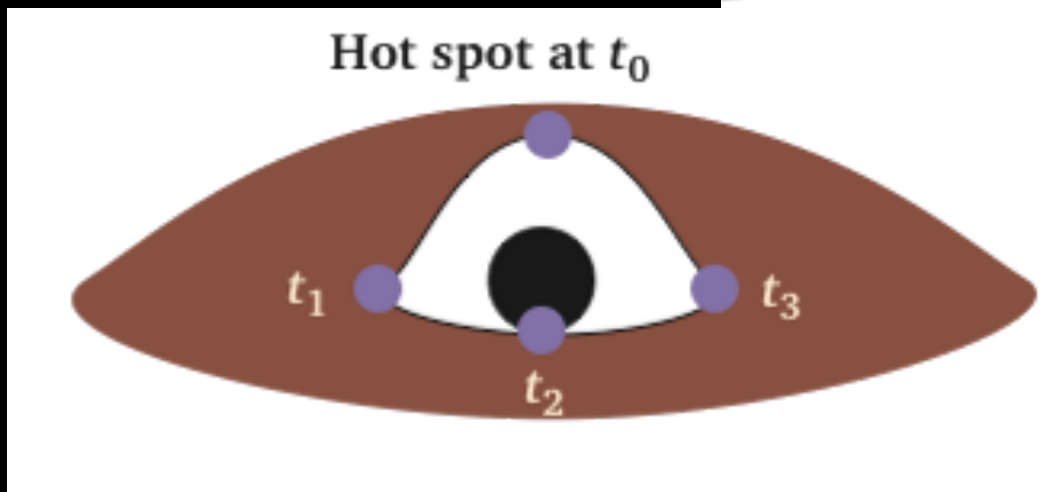
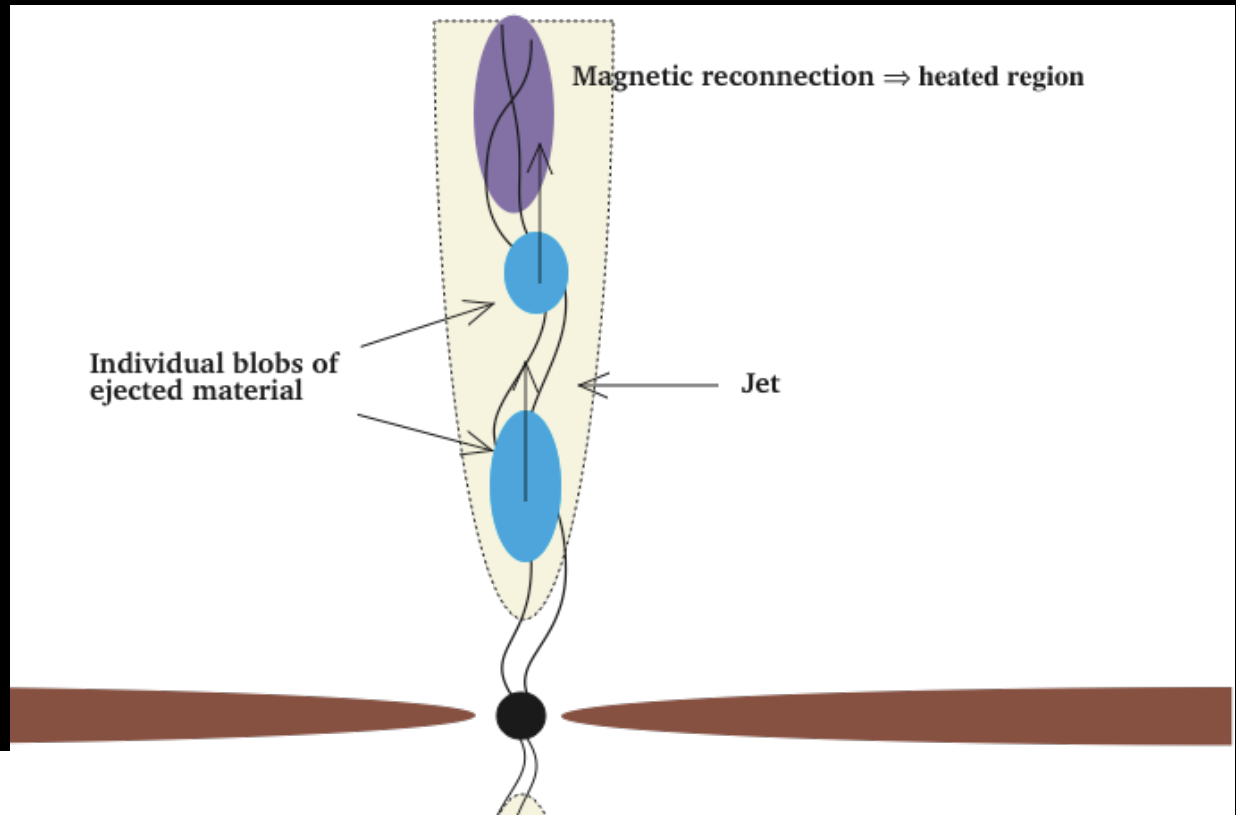


Les sursauts au Centre Galactique

Trois exemples de scenarios :

- reconnexion magnétique dans les jets
- points chauds sur la dernière orbite circulaire stable
- fluctuations statistiques

Échelle caractéristique :
quelques $10 \mu\text{as}$

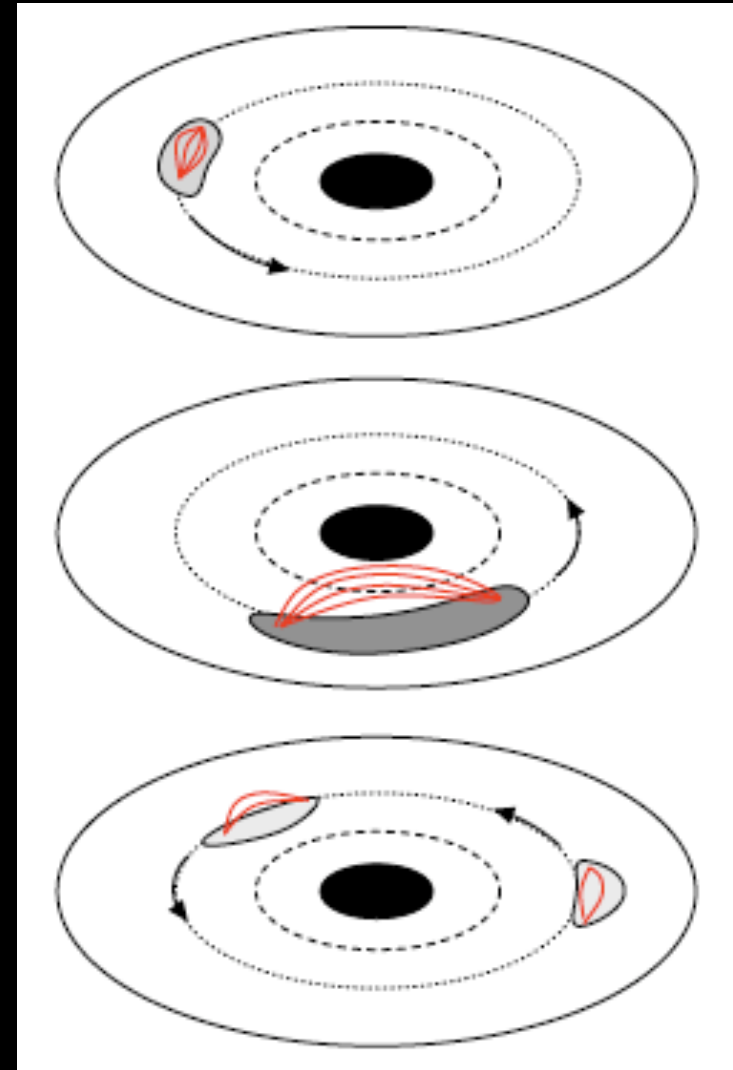


Utilisation des sursauts pour tester la relativité générale

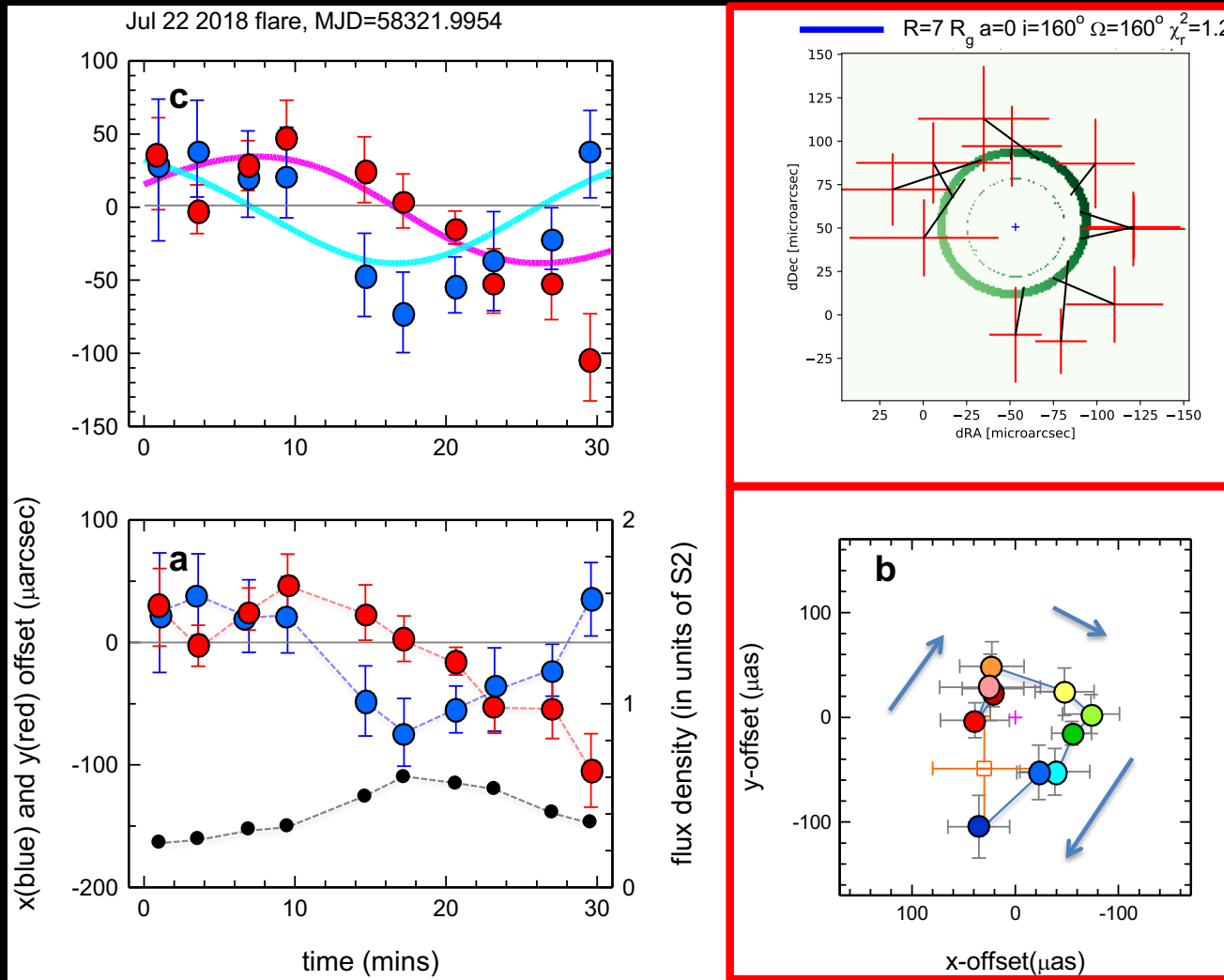
Sursaut lumineux : matière chauffée sur une (la dernière) orbite circulaire (stable)

Période du sursaut : période de l'orbite (20-40 minutes)

Le *point chaud* joue le rôle de particule test et permet l'étude de l'espace-temps autour de Sgr A*



Détection de mouvements orbitaux près de la dernière orbite circulaire stable de Sgr A*

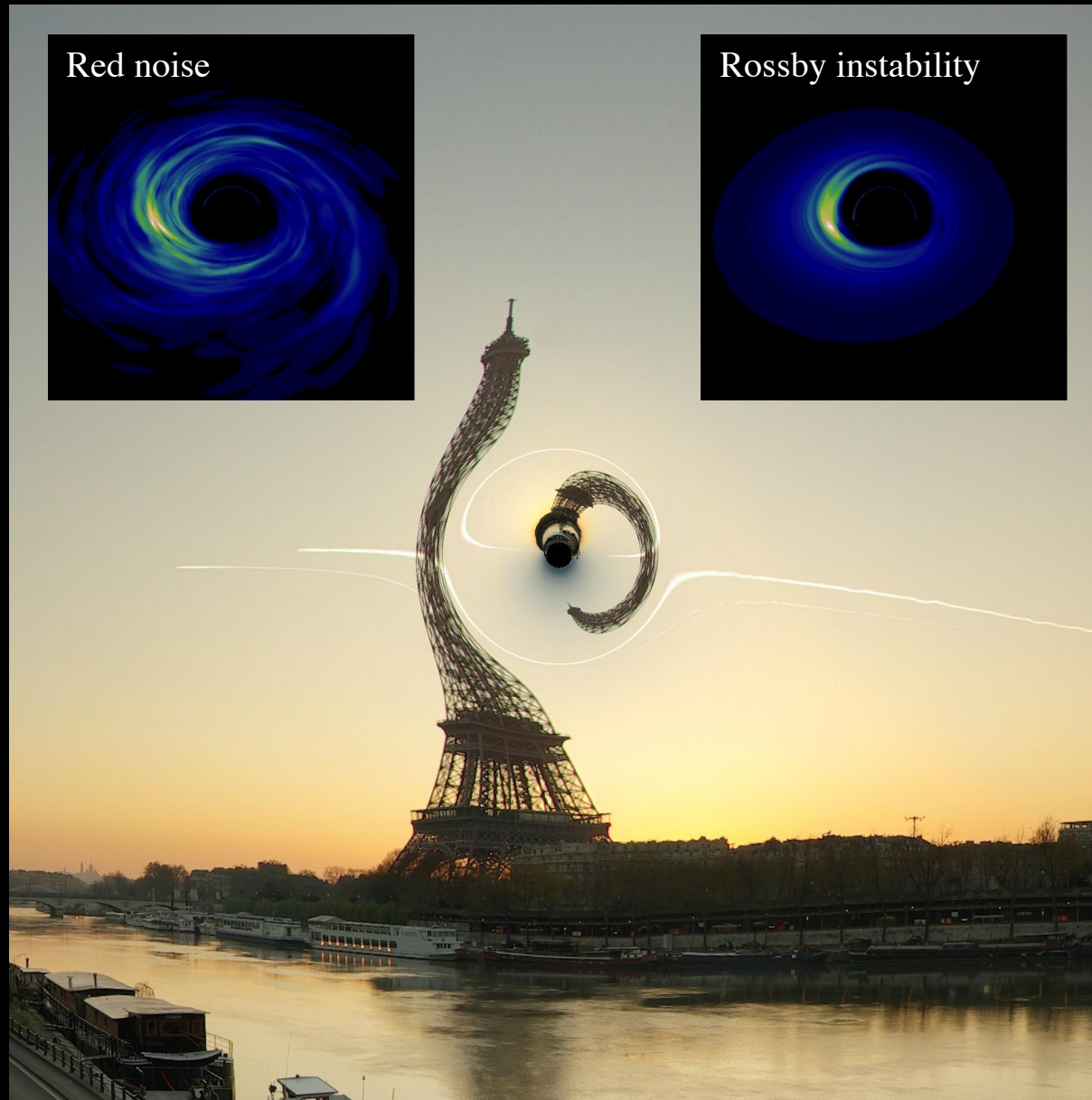


3 sursauts observés les 27 mai, 22 et 28 juillet 2018

Ajustement par un modèle relativiste de sursaut (GYOTO, Vincent et al. 2011)

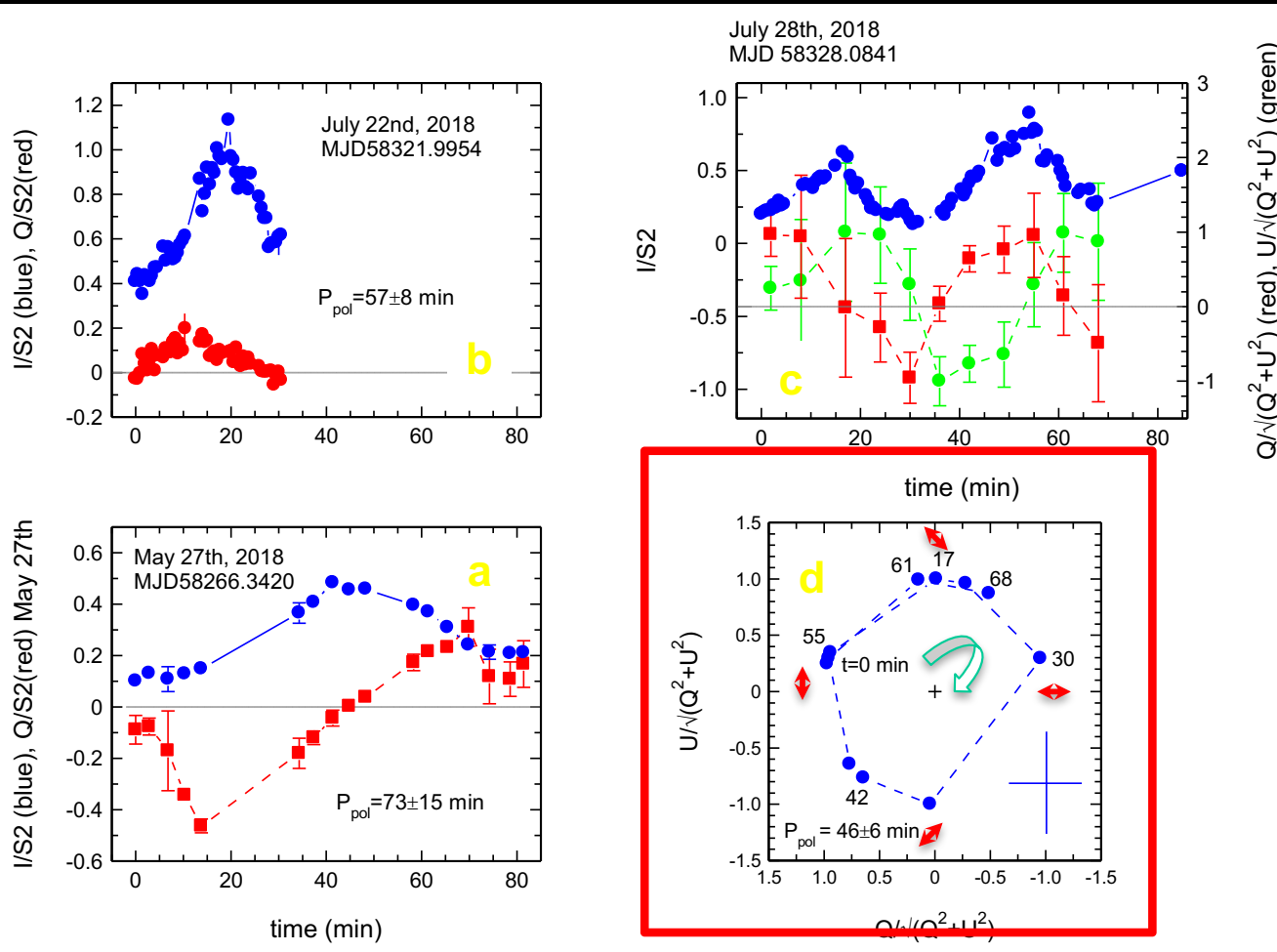
Cas Schwarzschild ($a=0$):
 $R = 7,3 \pm 0,5 R_s$
 $P = 40 \pm 8$ min
 $\Rightarrow v_{\text{orb}} \sim 0,3 c$

Relativistic ray tracing code GYOTO



1 Earth mass black hole
in the direction of the
Eiffel Tower

Boucles de polarisation



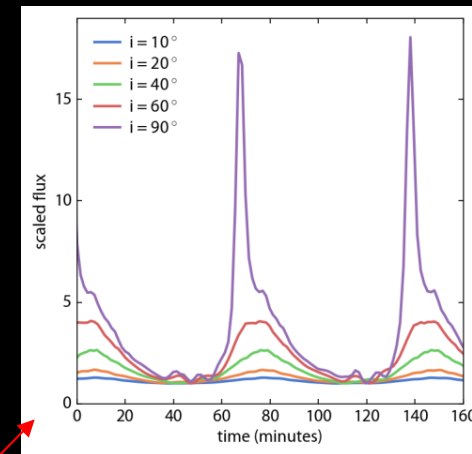
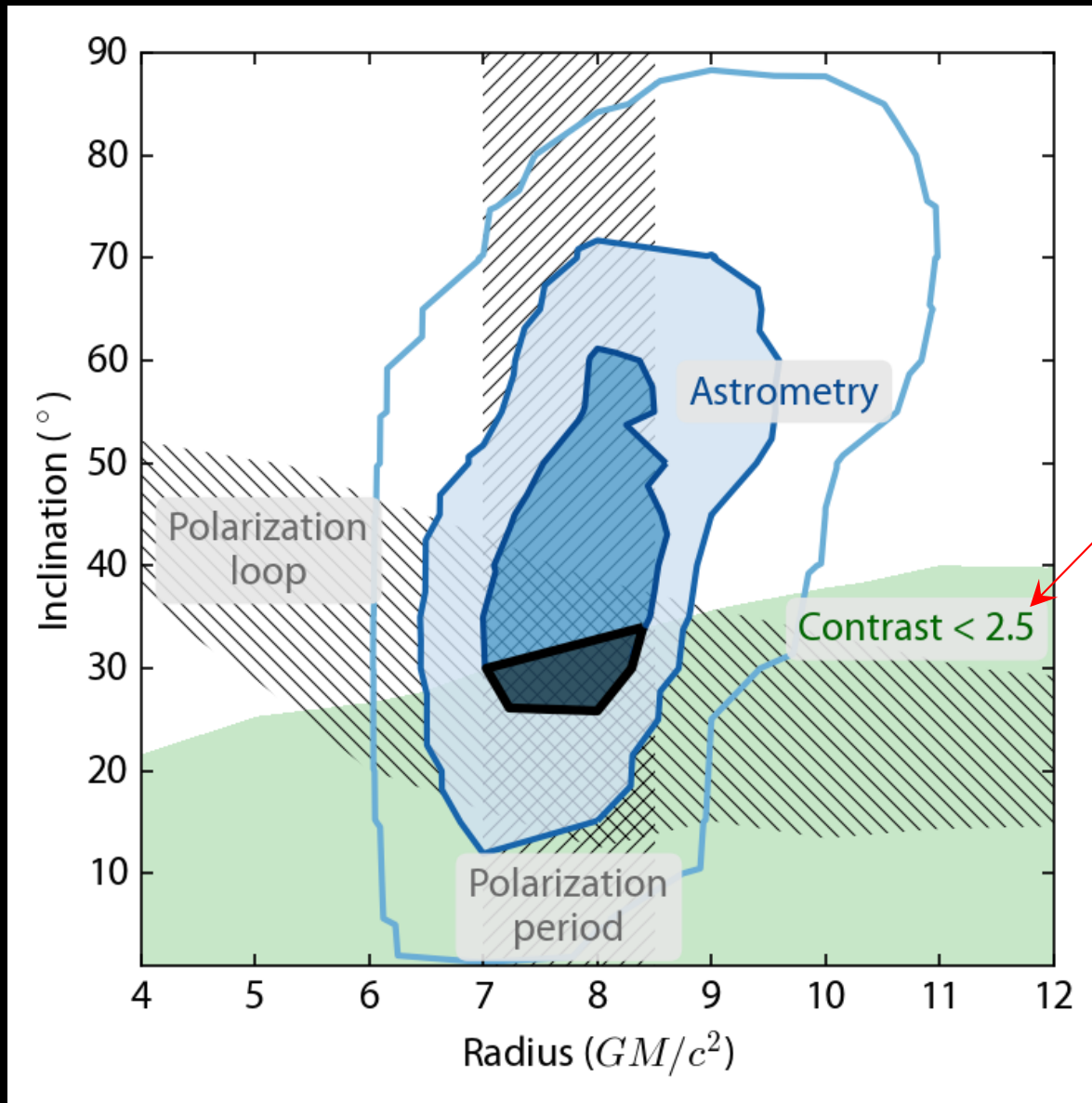
Champ magnétique perpendiculaire au plan de l'orbite.

Sgr A* a pour effet de rajouter une composante azimuthale à la polarisation qui tourne avec le point chaud.

Sursaut du 28 juillet 2018
 $P_{\text{pol}} = 48 \pm 6$ min

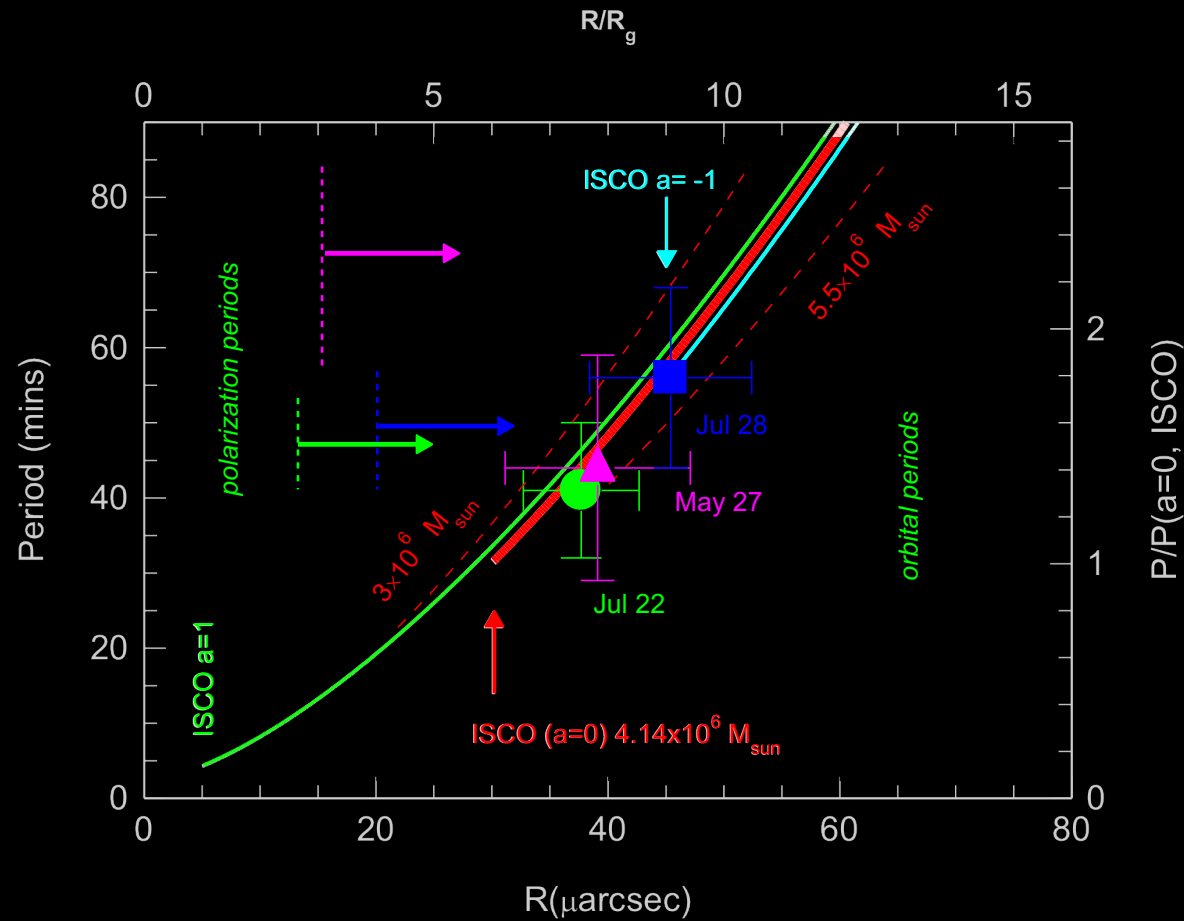
Compatible avec une inclinaison faible ($15-30^\circ$) et un rayon de $7-8 R_g$.

Contraintes sur l'inclinaison et le rayon de l'orbite

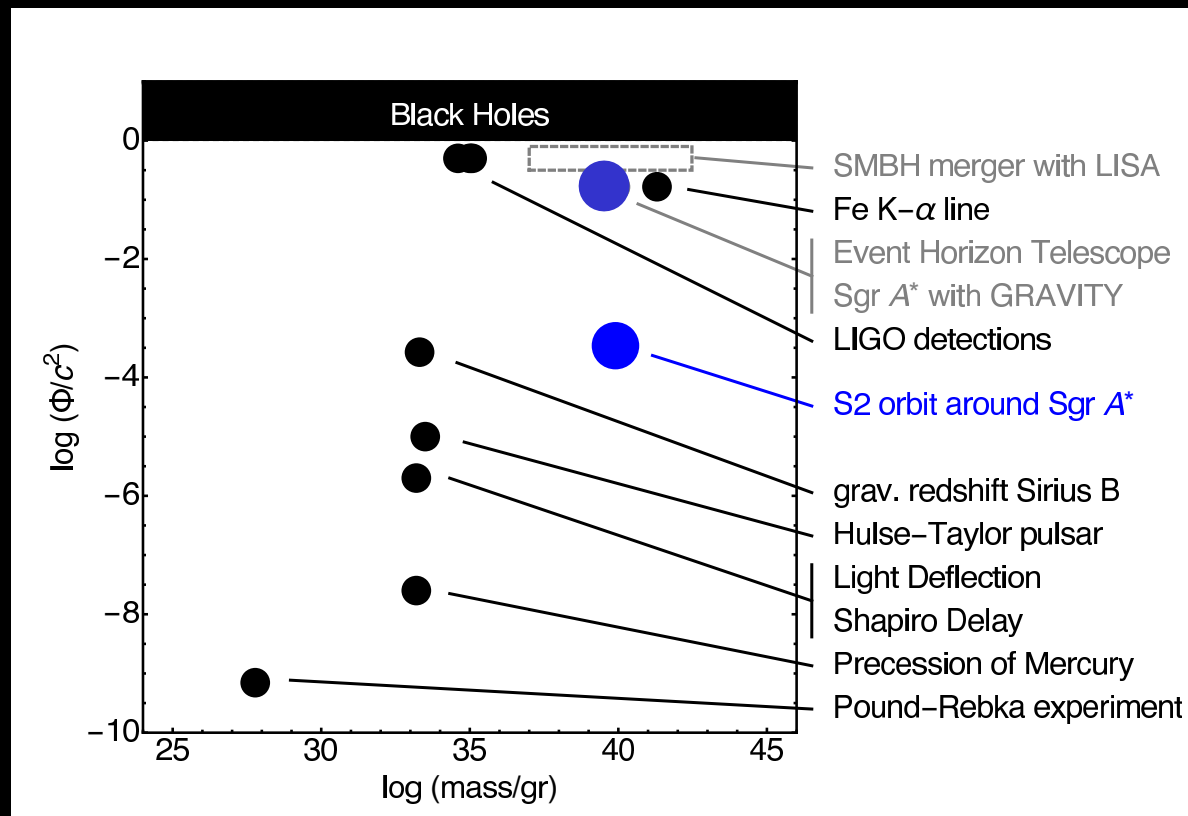


$R = 7,6 \pm 0,5 R_g$ et inclinaison $i \leq 30^{\circ}$

Les mouvements orbitaux près de l'horizon sont totalement compatibles avec l'hypothèse d'un trou noir de 4 millions de masses solaires



Contributions GRAVITY dans le schéma global des tests relativistes



Et ensuite ?

Orbites d'étoiles proches

Imagerie des 100 mas centrales en une nuit : besoin de 4 UT et de ~ 100 m de base

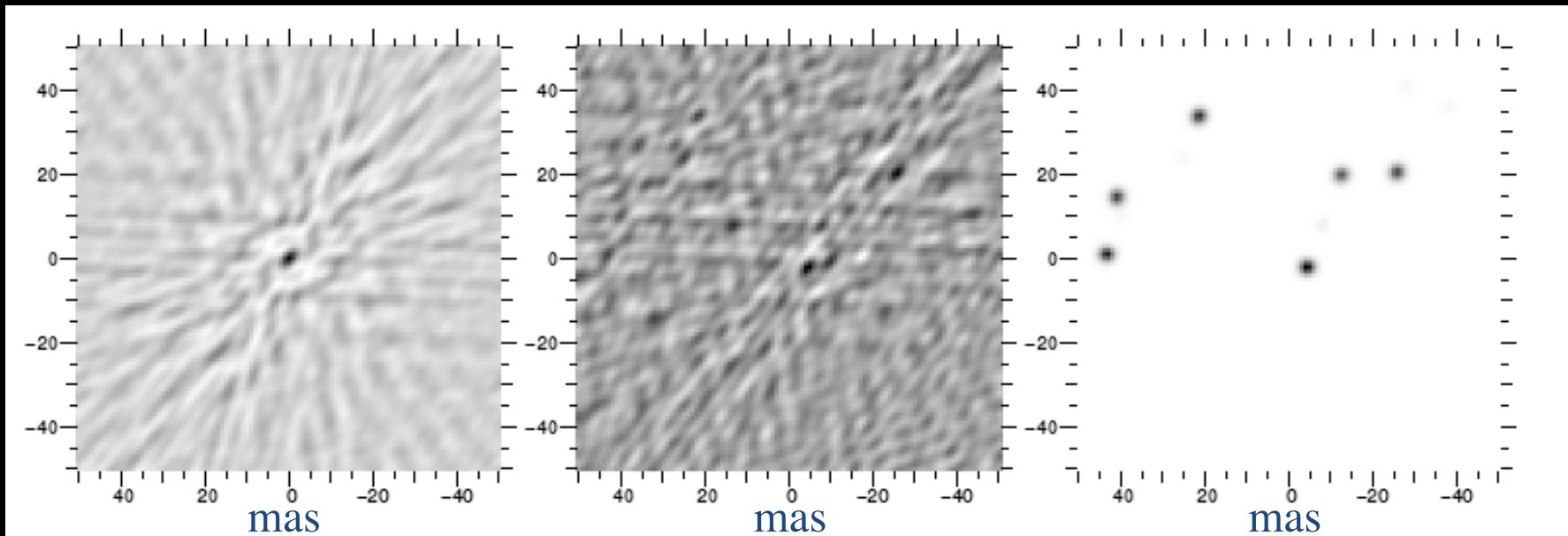


Image d'étoile de
référence
(dirty beam)

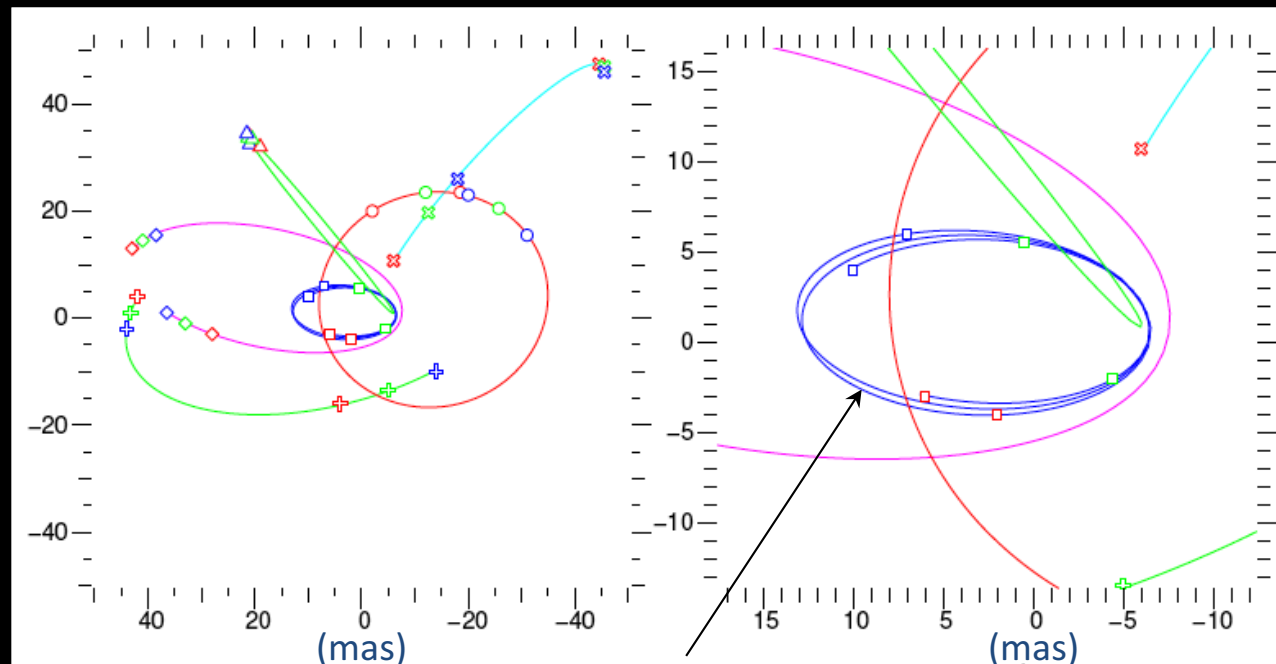
Image d'un champ de 6 étoiles
(dirty image)

Après déconvolution

Orbites d'étoiles proches

Imagerie des 100 mas centrales en une nuit : besoin de 4 UT et de ~ 100 m de base

Après 15 mois d'observation

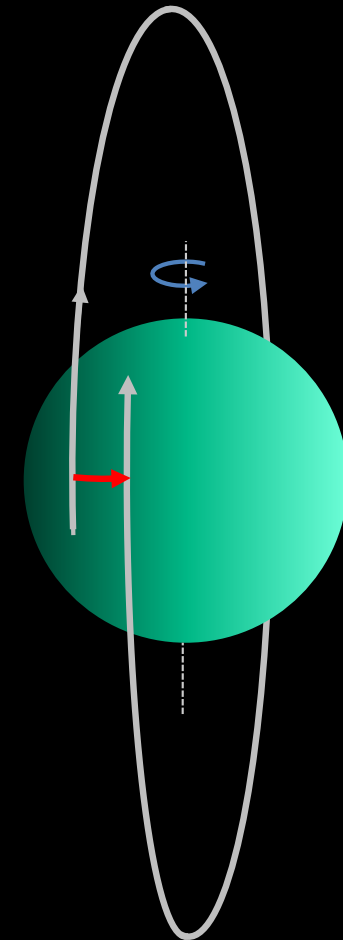
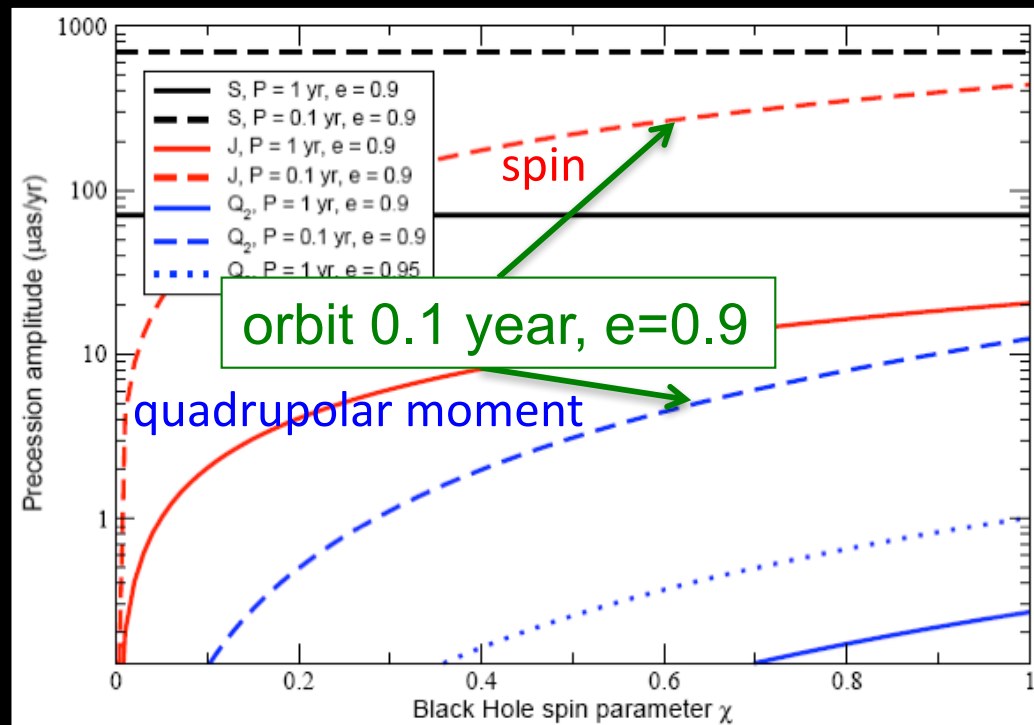


Système des étoiles S ramené à 100 mas

Précession relativiste dans la métrique de Schwarzschild
Mesure du spin dans la métrique de Kerr
Mesure du moment quadrupolaire ?

Lense-Thirring effects and precession of the quadrupolar moment

Precession of the orbital plane (precession of the angular momentum vector around the BH spin vector)



No-hair theorem of Wheeler: only 3 parameters describe a black hole: mass M , spin J , electric charge

Quadrupolar moment: $Q_2 = -J^2 / M$

The measurement of precession due to frame dragging in a few years with orbits of size 0,2 - 1 mpc (5 - 25 mas)

Exploration de la dernière orbite circulaire stable

$10 \mu\text{as} = 1 R_s$

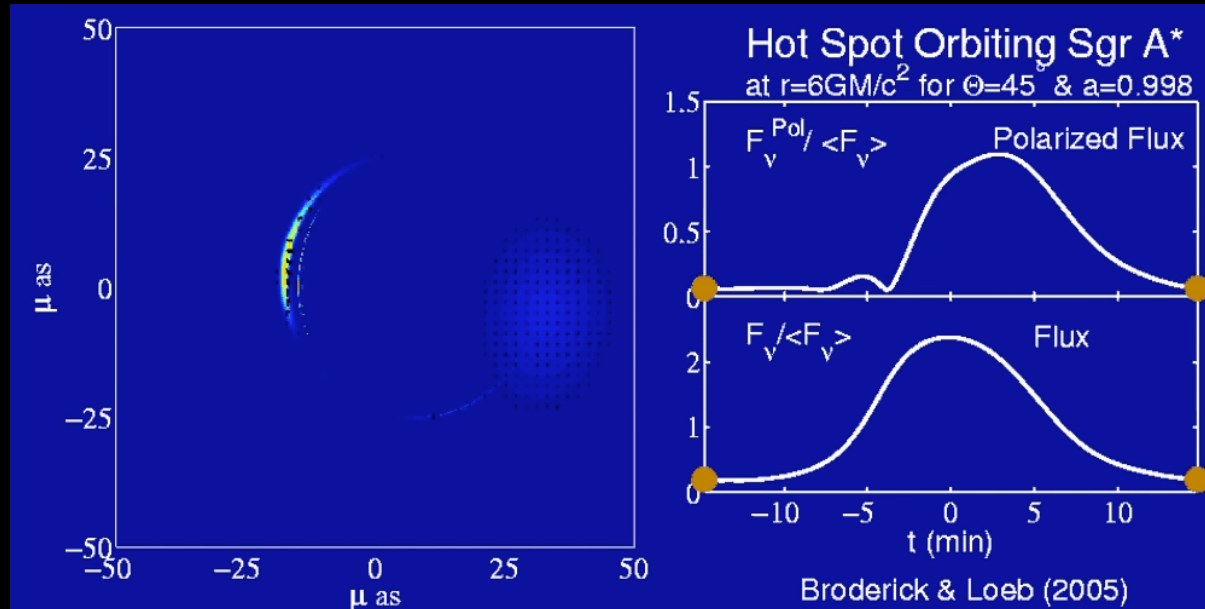
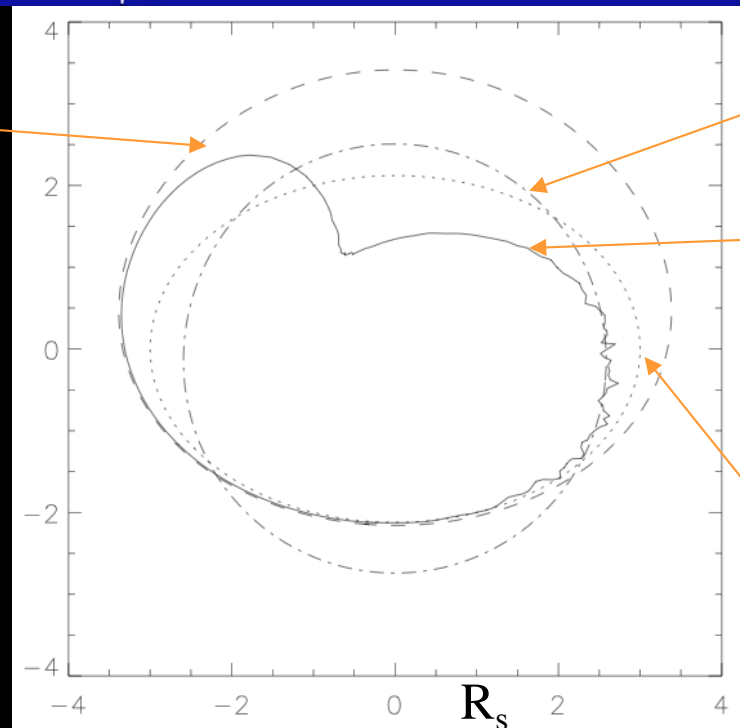


Image primaire

Image secondaire

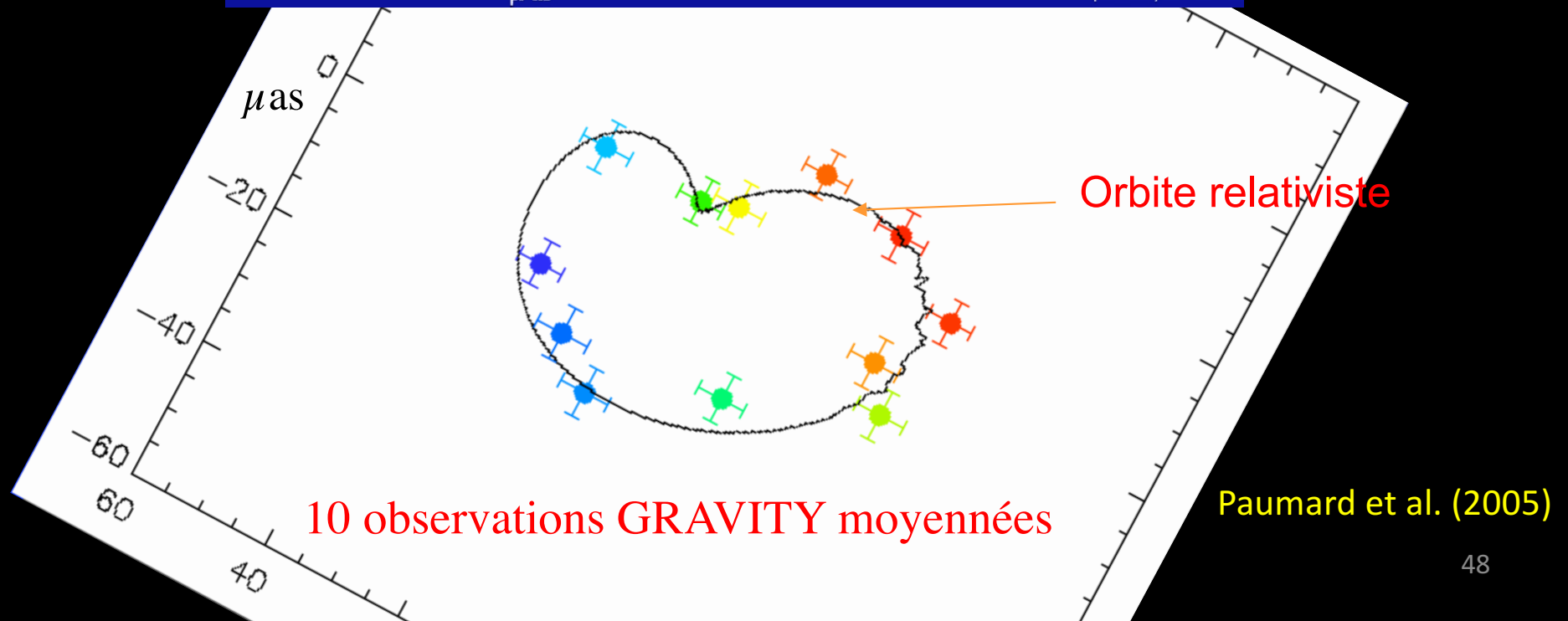
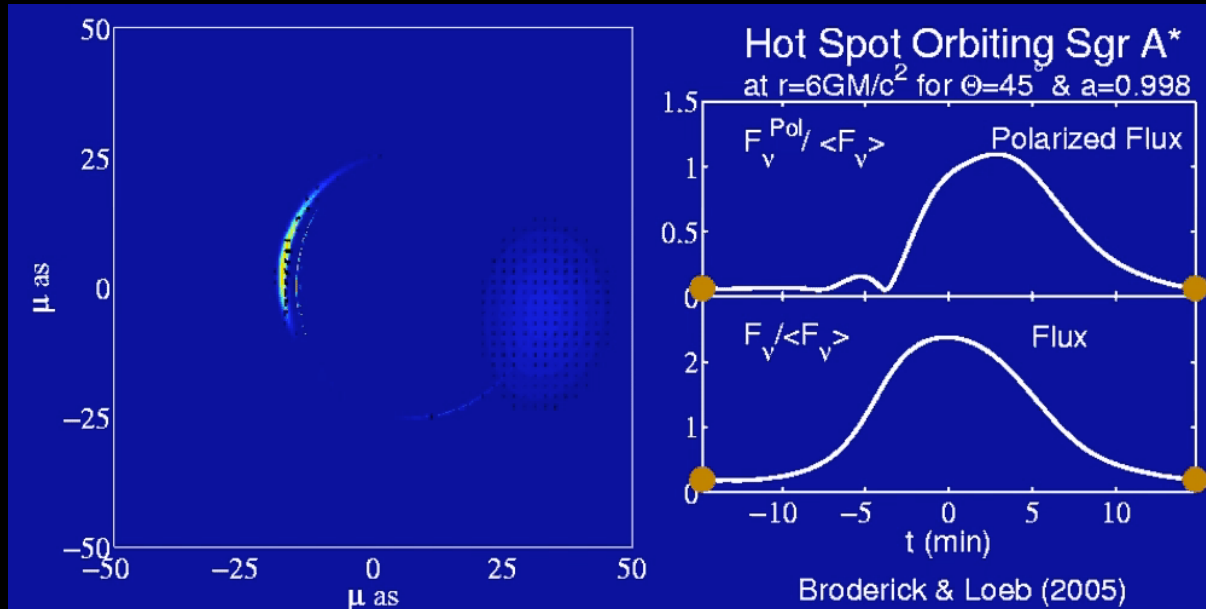
Orbite relativiste

Orbite newtonienne
inclinée à 45°

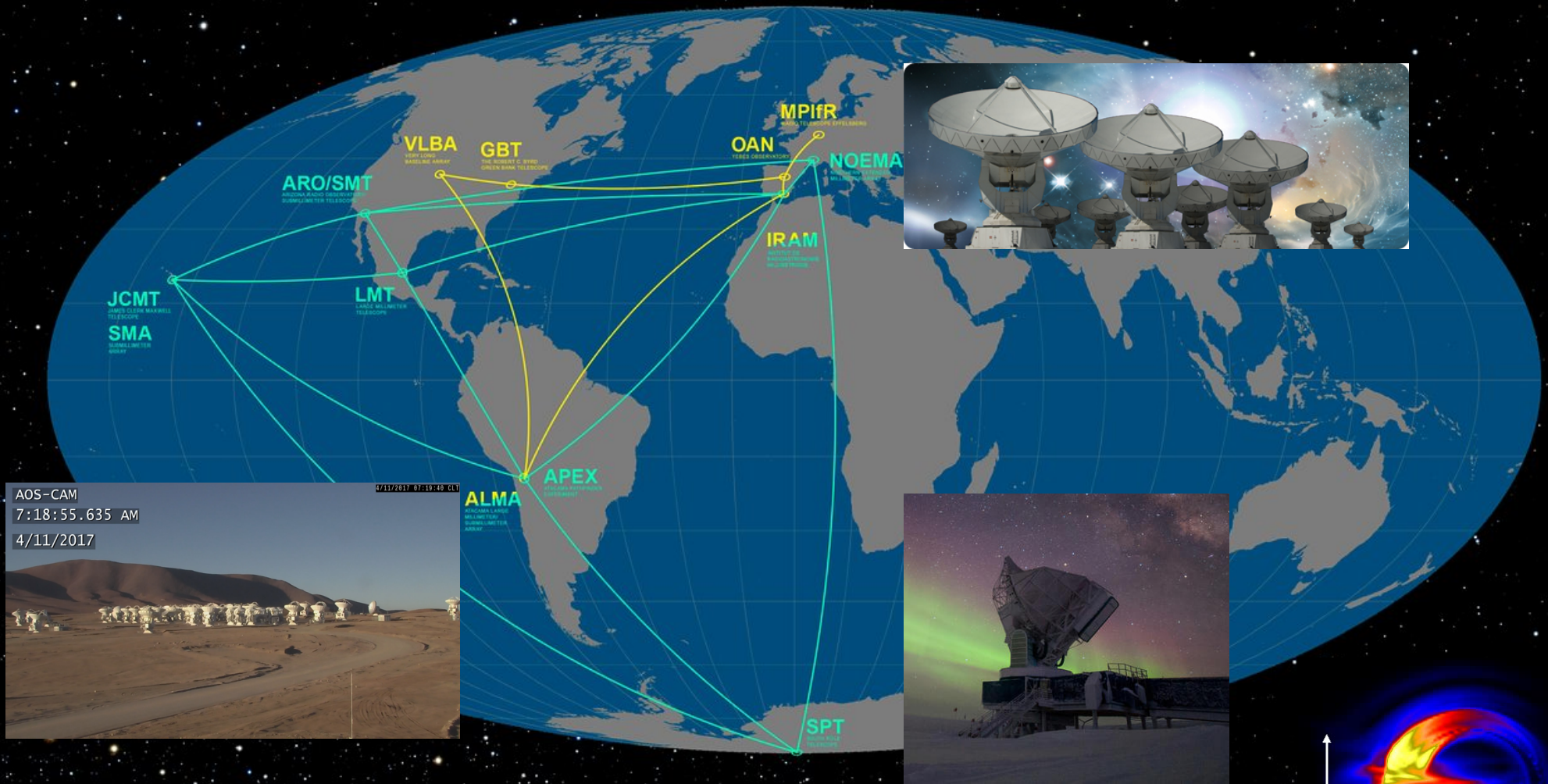


Exploration de la dernière orbite circulaire stable

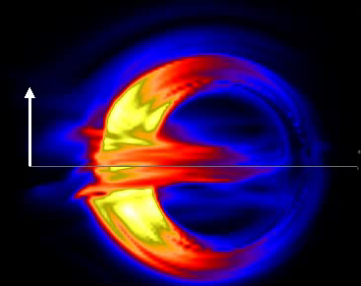
$10 \mu\text{as} = 1 R_s$



Event Horizon Telescope



Premières observations en avril 2017
... en attente des résultats officiels ...



Merci de votre attention !

Et merci à Thibaut Paumard, Frédéric Vincent, Reinhard Genzel, Oliver Pfuhl et tous les autres membres de GRAVITY !